Statyuahr N3BECTИЯ

АКАДЕМИИ НАУК АРМЯНСКОЙ ССР

Sthubyuuuu арыльфальшьгр исгри СЕРИЯ ТЕХНИЧЕСКИХ НАУК

theyur

ÉPEBAH

ԽՄՔԱԳՐԱԿԱՆ «ՈԼԵԳԻԱ

Ադոսց Հ. ... Ալճքսեհոկի Վ. Վ., հղիազաբյան Ի. Վ., հասյան Մ. Վ. *(պատ. իմբագիրյ*, Խազաբով Ա. ... Սիմոնով Մ. Ջ., Փիմաջյան Վ. Վ. *(պատ. իմրադրի տեղակալ)*

РЕДАКЦИОННАЯ КОЛЛЕГИЯ

Адонц Г. Т., Алексеевский В. В., Егиагаров И. В., Касьян М. В. (ответ, редактор), Назаров А. Г., Пападжян В. В. (зам. отв. редактора), Симонов М. З.

СТРОИТЕЛЬНАЯ МЕХАНИКА

С. С. ЛАРБИНЯН

О КОЛЕБАНИИ СВОБОДНО СТОЯЩЕГО ПРИЗМАТИЧЕСКОГО БРУСА ПОД СЕЙСМИЧЕСКИМ ВОЗДЕЙСТВИЕМ

В статье исследуется простейший случай колебания абсолютно твердого, снободно стоящего параллеленипеда под действием горизонтальных и вертикальных сейсмических сил (рис. 1). Колебание такого бруса описывается следующим дифференциальным уравнением [1]:

$$Az'' - [bx_0 + h(y_0 + g)] \quad z = hx_0 - b(y_0 + g), \tag{1}$$

$$\text{где } A = \frac{2}{2} (b^2 + h^2).$$

1. Свободные колебания. Предположим, что брусу сообщается начальная скорость \mathfrak{a}_0 в момент t=0, после чего он начинает свободно качаться.

Дифференциальное уравнение движения (1) в рассматривлемом случае примет вид:

$$Aa'' - hga = -hg$$

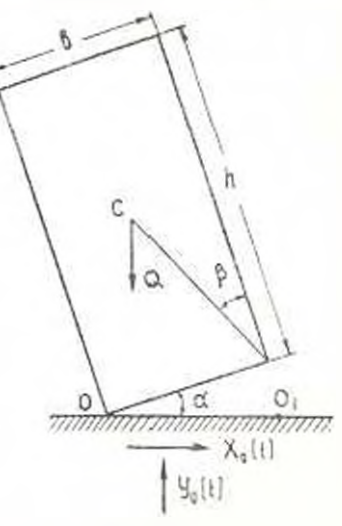
Это уравнение можно преобразовать так:

$$a'' - \omega^{2} \alpha = -\omega^{2}$$

$$J_{0} = \frac{AQ}{2g} = \frac{Q}{4g} (b^{2} + h^{2}) + J_{0} \omega^{2}$$

$$= \frac{Qh}{2I_{0}}, \quad \gamma = \frac{b}{h}.$$
(1.1)

где J_0 — момент инерции бруса относительно точки 0; ω — частота собственных колебяний.



PHC. 1.

В частном случае, когда $h\gg b$, то есть угол θ — малая величина, (1.1) совпадает с уравнением [2].

Решение уравнения (1.1) при начальных условиях t=0, $\alpha=0$, $\alpha'=\alpha_0$ запишется следующим образом:

$$z = \frac{1}{\omega} \sinh \omega t + \gamma (1 - \cosh \omega t). \tag{1.2}$$

Момент максимального смещения t_m находим из условия = 0

The $t_m - \gamma \omega \sinh \omega t_m = 0$.

Откуда

$$th\omega t_m = \frac{a_0}{\gamma_0}$$
 (1.3)

Максимальный угол поворота a_m на основании (1.2) и (1.3) будет равен

 $a_m = \gamma \left(1 - \sqrt{\frac{1 - \alpha}{\gamma^2 \omega^2}} \right). \tag{1.4}$

Если колебания совершаются без потерь, то есть имеют место упругие удары, период колебаний определится по формуле

$$T = 4t_m = \frac{4}{\omega} \quad acrth \quad \frac{4\omega}{\gamma\omega} . \tag{1.5}$$

С момента t — брус возвращается в свое начальное положение. Тогда движение описывается уравнением (1.1) с новыми начальными условиями при $t=t_m$, z=1 — $\alpha'=0$. Поэтому решением (1.1) будет

$$a = \gamma - (a_m - \gamma) \operatorname{ch} \omega (t - t_m). \tag{1.6}$$

Момент времени t_1 , когда происходит удар ${}_{1}^{*}$ бруса по фундаменту, находим из (1.6) при z=0

$$t_1 = t_2 + \frac{1}{t_{(1)}} \operatorname{arcch} \frac{1}{\gamma - 1}$$
 (1.7)

Скорость в этот момент на основании (1.4), (1.6) и (1.7) булет

$$y'(t_1) = -1 \left(\frac{1}{4} - \frac{1}{4} \right)^2 = -20$$

После совершения удара $(t>t_1)$ брус будет качаться вокруг точки O_1 . Движение снова опишется уравнением (1.1) и возможно колебание произойдет вокруг O или O_1 . Продолжительность такого процесса зависит от коэффициента восстановления k, то есть от величины скорости после каждого удара. Для абсолютно упругих тел (k=1) колебание бруса продолжается без конца, меняется лишь знак скорости после каждого удара. Для абсолютно неупругих тел (k=0) в момент t=t, качание прекращается полностью. Если <1, то после каждого удара скорость уменьшается в k раз и колебание постепенно затухает.

Теперь вычислим то значение начальной скорости x_0 , при котором брус опрокинется. Опрокидывание произойдет, если диагональ бруса примет вертикальное положение, и в этот момент он имеет ничтожную угловую скорость.

Это условие будет выражаться так: $\alpha_m = \beta = \lg \gamma$, на основании которого находим

$$a_0 = \omega \sqrt{\gamma^2 - (\gamma - \lg \gamma)^2}.$$

Откуда в случае, когда $h\gg b$, получим ту величину a_{0} при которой брус опрокидывается

иди

$$z_0 = \frac{h}{h} \sqrt{\frac{1}{2J_0}}$$

20 = Y0

HO

$$J_0 = \frac{Q}{4g} (h^2 + b^2) + \frac{Q}{12g} (h^2 + b^2) = \frac{Q}{3g} (h^2 - b^2).$$

Следовательно

$$a = \frac{b}{h} \sqrt{\frac{3gh}{2(h^2 + b^2)}} \tag{1.8}$$

В частном случае (1.8) совпалает с решением [3].

 Вынужовенные колебания Рассмотрим колебание бруса, находящегося пол сейсмическими силами в двух направлениях. В рассматриваемом случке (1) можно представить в следующем виде:

$$r + P^{z}(t) z = R(t),$$
 (2.1)

где

$$P^{a}(t) = -\frac{h}{A}(xx_{0} - y_{0} - g), \quad R(t) = \frac{h}{A}(\frac{1}{x_{0}} - y_{0} - g).$$

Если выполняется условие

$$|P^{z}(t)| = \left| \frac{3}{2P(t)} - \frac{3}{4} \left(\frac{P'(t)}{P(t)} \right)^{2} \right|.$$

то решение однородного уравнения можно представить следующим образом [4]:

 $z(t) = \frac{1}{VP(t)} \left[c.e^{i\varepsilon(t)} - c.e^{-i\varepsilon(t)} \right] +$

LTG

$$z\left(t\right) =\int P\left(t\right) dt,$$

Решенне, соответствующее правой части (2.1), найдем методом вариации параметров. Тогда сбіщее решенне (2.1) булет:

$$a(t) = \frac{1}{VP(t)} \left\{ C_1 e^{tz(t)} - C_2 e^{-tz(t)} + \frac{1}{2t} \right\} = \frac{R(t) e^{-tz(t)} dt}{VP(t)} - e^{-tz(t)} \left\{ \frac{R(t) e^{-tz(t)}}{1 - tz(t)} \right\}, \qquad (2.2)$$

где

$$a_1 = \frac{e^{-it/t}}{VP(t)}; \quad a_2 = \frac{e^{-it/t}}{VP(t)}.$$

Если $\varphi(t)$ вещественная функция, то есть $P^{2}(t) > 0$, то

$$\pi(t) = \frac{1}{VP(t)} \left\{ A_t \cos \varphi(t) + A_t \sin \varphi(t) + \int \frac{R(\tau)}{VP(\tau)} \sin [\varphi(t) - \varphi(\tau)] d\tau \right\}. \tag{2.3}$$

Если $\sigma(t)$ минмая функция, то есть $P^{\mu}(t) < 0$, то

$$a(t) = \frac{1}{\sqrt{P(t)}} \left\{ A_1 \operatorname{ch} \psi(t) + A_2 \operatorname{sh} \psi(t) - \frac{1}{4} \int \frac{R(z)}{1 P(z)} \operatorname{sh} \left[\psi(t) - \psi(z) \right] dz \right\}. \tag{2.4}$$

где $\psi(t) = \frac{1}{t} P(t) - 0$ — вещественная функция.

В частном случае, если на брус действует сейсмическая сила только в горизонтальном направлении, то есть, когда $y_*(t) = 0$ и $x = t \cos pt$, уравнение (2.1) примет вид

$$a'' + \left(-\frac{h}{A}g + \frac{h''}{A}ip\cos pt\right)a = -\frac{h}{A}\left(\frac{ip^2}{\gamma}\cos pt - g\right)$$

Введем обозначение р1 2г, тогда

$$\tau = -\frac{p}{2} \frac{dz}{dz}$$
, $\tau'' = \left(-\frac{p}{2}\right)^2 \frac{d^2z}{dz^2}$.

Уравнение движения примет вид

$$\frac{d^{-2}}{dz} + (a - 2q\cos 2z) \, z = \gamma a - \frac{2q}{\gamma} \cos 2z, \tag{2.5}$$

где

$$a = -\frac{hg}{A} \left(\frac{2}{p}\right)^2; q = -\frac{2b\lambda}{A}$$

Дифференциальное уравнение (2.5) предстанляет из себя стандартный вид уравнения Матье, решению которого посвящена обширная литература, например, [5, 6]. Можно показать, что для рассматриваемой задачи удобно применить асимптотические методы. Отметим, что (2.5) аналогично уравнению колебания обернутого маятника с коэффициентами и и q. Изпестно, что для такого случая существует область устойчивости, которую легко определить.

Колебание рассматриваемого бруса приводит к решению уравиения типа (2.5) в случаях, когда $x_0(t)=0,\ y_0(t)=t_1\cos\omega_1 t$ в когда $x_0(t)$ и $y_0(t)$ меняются по гармоническому закову.

Таким образом, решение поставленной задачи приводится к изучению явления колебаний оберцутого маятника, для которого методы решения существуют. Однако, задачу можно решить также при произвольном законе колебания почвы с использованием реальных акселерограмм и ЭЦВМ.

3. Случай очень малых перемещений. Пз уравнения (2.1) видно, что коэффициент и R(t) — величины одинакового порядка. Поэтому при весьма малых значениях τ (2.1) с навестным приближением можно записать в следующем виде:

$$x^{\mu} = \frac{b}{A} \left(\frac{1}{\tau} x_0^{\prime} - y_0^{\prime} - y_0^{\prime} \right). \quad (3.1)$$

решение которого будет

$$z(t) = \frac{b}{A} \left(\frac{1}{2} x_0 - y_0 - \frac{dt}{2} \right) + \epsilon_0 t + \epsilon_0$$

При пулевых начальных условиях $c_1=c_2=0$ и, следовательно, решение в пулевом приближении будет

$$a_0 = \frac{b}{A} \left(\frac{1}{\gamma} x_0 - y_0 - \frac{gt^2}{2} \right)$$
(3.2)

Для нахождения первого приближения в силу (3.2) и (2.1) находим

$$a_1 = a_0 + \frac{1}{A} \int_0^t \int_0^t F(t) dt dt,$$

гле

$$F(t) = \frac{bh}{A} (\gamma x_0 + y_0 + g) \left(\frac{1}{\gamma} x_0 - y_0 - \frac{gt^2}{2} \right). \tag{3.3}$$

Продолжая этот процесс, можно найти решение с любой приближенностью.

Пулевое приближение и первое приближение, как видно из (3.3), отличаются на величину

$$b_1 = \frac{1}{A} \int_0^t \int_0^t F(t) dt dt = \frac{h}{A} \int_0^t \int_0^t (-x_0 - y_0 + g) x_0(t) dt dt.$$

Последующие приближения друг от друга будут отличаться соответственно на величину:

$$t_{2} = \frac{h}{A} \int_{0}^{t} \int_{0}^{t} (\gamma x_{0} - y_{0} - g) (\tau_{1} - z_{0}) dt dt,$$

$$t_{2} = \frac{h}{A} \int_{0}^{t} \int_{0}^{t} (\gamma x_{0} + y_{0} + g) (z_{2} - \tau_{1}) dt dt.$$
(3.4)

Все эти выражения можно написать следующим рекуррентным соотношением:

$$\delta_{n} = \frac{h}{A} \int_{0}^{1} \int_{0}^{1} (\gamma x + y + y) x_{0} dt dt$$

$$\delta_{n} = \frac{h}{A} \int_{0}^{1} \int_{0}^{1} (\gamma x_{0} + y_{0} - y) (z_{n-2} - z_{n-2}) dt dt. \qquad (n = 2, 3, \dots).$$

Если в очень малая величина и, следовательно, z_0 выбрана достаточно точно, то из (3.4) видно, что последовательность $\theta_1, \, \theta_2, \, \theta_3, \cdots$ должна быстро убывать.

Таким образом, для практически применимых задач можно будет ограничиться нулевым приближением

$$z = \frac{b}{A} \left(\frac{1}{z} x_0 - y_0 - \frac{gf^2}{2} \right)$$
 (3.5)

Момент времени t_m , при котором имеет место максимальный поворот бруса, находим из условия z'=0. На основании (3.5) будем иметь:

$$-- (t_m) - y_0(t_m) - = 0. (3.6)$$

Определяя из (3.6) t_m и подставляя в (3.5), получим величину максимального значения $a = a_m$:

$$a_m = \frac{b}{A} \left[\frac{1}{\gamma} \times_0 (t_m) - y_0(t_m) - \frac{gt_m}{2} \right]$$
 (3.7)

После максимального отклонения брус начнет обратное движение и в момент t_1 , когда $z\!=\!0$, произойдет удар по фундаменту. Далее, в зависимости от направления $x_0(t)$ он будет колебаться либо отвосительно точки O_1 ,

Петрудно доказать, что если колебание совершается относительно точки O_0 , то в дифференциальном уравнении движения (1.1) меняется знак перед x_0 (1). Однако, если учесть и направления функции x_0 (1), то фактически получим то же самое уравнение, решение которого находим указанным методом.

Величину 1 находим из (3.6) при х=0

$$\frac{1}{7} r_0(t_1) - y_0(t_1) - \frac{gt_1^2}{2} = 0. ag{3.8}$$

Скорость в этот момент равна

$$a'(t_1) = \frac{b}{A} \left[\frac{1}{x} x_0(t_1) - y_0(t_1) - gt_1 \right]. \tag{3.9}$$

Преимуществом решения (3.5), помимо простоты, является то обстоятельство, что становится возможным использовать при расчете сейсмограммы землетрясений.

Известно, что расчет сооружений с помощью реальных записей землетрясений связан с определенными трудностями из-за отсутствия вкселерограмм. Поэтому предлагаемый метод в некоторой мере восполняет этот пробел.

Отметим, что все полученные выше уравнения являются линейными с переменными коэффициентами. При решении таких уравнений возможно параметрическое возмущение (и частности параметрический резонанс), на которое до сих пор не обращалось должного внимания. Это обстоятельство при некоторых условиях может привести к снижению сейсмического эффекта.

В заключение автор приносит свою благодарность академику АН АрмССР А. Г. Назарову за ценные советы при выполнении этой работы.

Институт геофизики и пиженерной сейсмологии АН АрмССР

ս. և դարրենցան

ՍԵՑՍՄԻԿ ՈՒԺԵՐԻ ԱԶԳԵՏՈՒԹՅԱՆԸ ԵՆԹԱՐԿՎԱԾ ԱԶԱՏ ՀԵՆՎԱԾ ՊՐԻԶՄԱՅԱՉԵՎ ՉՈՂԻ ՏԱՏԱՆՄԱՆ ՄԱՍԻՆ

Uthadiaid

Հողվածում ուսումնասիրվում է ազատ կանդնած զուգահեռանիստի տատանումների ինդիրը՝ հորիզոնական և ուղղաձից ուղղություններով ադդող սելսմիկ ուժերի ազդեցության դեպքում։ Ձնայած, որ խնդրի նշված որվածքի դեպքում հայտնի են գտոնում մի շարք նոր երևույթներ, որոնք շատ կարեվոր են սելսմակայունության հաշվարկ կատարելիս, մինչև այժմ դրանք լեն ուսումնասիրված։ Հայտնի է (1), որ այդ խնդրի լուժումը բերվում է փոփոխական դորժակիցներով երկրորդ կարգի սովորական դիֆերենցիալ (1) հավասարժան ինտեդրմանը։

Դիտվում են ապատ ու հարկադրական տատանումները և ցույց է տրված, որ արտաքին ուժերի հարմոնիկ օրենքով փոփոխման դեպքում (1) հավասարումը բերվում է Մտայեի հայտնի հավասարմանը։ Դիտվում է նաև շտտ փոքր տեղափոխումների դեպքը, որի ժամանակ լուծումը հասցվում է մինչև վերը։

Կատարված ուսումնասիրությունները ցույց են տալիս, որ կառուցվածքների սելսմակայունության հաշվարկ կատարելիս, երկու ուղղությամբ աղդող ուժերի հաշվի առնելը կարող է ի հայտ բերել ամբության նոր, թաբնված պաշարներ։

ЛИТЕРАТУРА

- Дарбинян С. С. Об одном дополнительном резерве сопротивляемости сооружений сенемическим воздействиям. ЛАН АрмССР, т. XLH, № 4, 1966.
- 2. Housner G. W. The Behavior of inverted Pendulum Structures During Earthquaker.
 Bulletin of the Seismological Society of America, February, 1963.
- 3. Голицин Б. Б. Избранные труды, т. П. М., 1960.
- 4. Каннинскам В. Введение в теорию пелинейных систем. Госанергонадат, 1962.
- 5. Мак-Лахлан Н. В. Теория и придожения функции Матье. М., 1953.
- Пановко Я. Г. Основы прикладной теории упругих колебаний. М., 1957.

20340405 002 ТРЯПЕРВПЕСЬТЕ U40460F003F SUQUADER ИЗВЕСТИЯ АКАДЕМИИ НАУК АРМЯНСКОЙ ССР

Տնխնիկական գիտութ, սեբիա

XX, At 5, 1967

Серия технических паук

СТРОИТЕЛЬНЫЕ КОНСТРУКЦИИ

л. м. мелконян

ХАРАКТЕР РАЗРУШЕННЯ СТАЛЕЙ ПОВЫШЕННОЙ И ВЫСОКОЙ ПРОЧНОСТИ ДЛЯ СТРОИТЕЛЬСТВА

Принято считать, что коррозновное разрушение стальных строительных конструкций в атмосферных условиях посит равномерный характер. Более детальное изучение корродированных поверхностей показало, что равномерность нарушается в связи с неоднородностью металла, видом термической и механической обработки, чистоты поверхности изделий, видом напряженного состояния [1, 2]. Влияние таких поражений, как язвы и питтинги, аналогично действию концентраторов напряжений [3], что особенно неблагоприятно для сталей повышенной и высокой прочности, вмеющих повышенную чувствительность к концентрации папряжений [4].

Перспектива применения сталей повышенной и нысокой прочности в строительстве поставиля перед исследователями задачу всестороннего изучения работы этих сталей в конструкциях. В настоящее время получены данные по ряду их свойств, однако наименее исследованной является коррознопная стойкость, в то время как это свойство является одним из основных, опрецеляющих долговечность металлических конструкций. Это и является целью настоящего исследования, которос приводится в лаборатории коррозии кафедры металлических конструкций МПСП им. В. В. Куйбышева и лаборатории металлографии ЦНПИСКа им. В. А. Кучеренко.

В настоящей статье представлены данные по выявлению характера разрушений некоторых марок сталей повышенной и высокой прочности, рекомендуемых для строительства, в различных атмосферных условиях. Все марки сталей (табл. 1) исследовались в термоуирочненном состоянии (закалка отпуск). Химический состав сталей приведен и табл. 2.

Таблица 1

Класс стали	C - 31	C ~ 60	C - 78
Марка стали	(1)	12F2CMΦ	11 X1 C, 12XГ2СМФ

Исследование посит сравнительный характер и в качестве эталона выбрана сталь марки МСт 3 сп. и горячекатаном состоянии.

Плоские образцы размером 80 × 50 жм подвергались коррозии в условиях: 1) городской промышленной атмосферы: 2) мартеновского цеха металлургического комбината; 3) коррозионной камеры (ускоренные испытания). Режим коррозионной камеры подбирался таким образом, чтобы имитировать характерные для промышленной атмосферы условия и обеспечить протеквине коррозионных процессоп с максимальной для данных условий скоростью без изменения его механизма по метолике, описанной [в. [3, 5]. Максимальная продолжительность ускоренных испытаний—12 месяцев, натурных—18,

Таблица 2

Марка стали С	Химический состав в в а									
	Mu	SI	S	р	Cu	Ni	Cr	Мо	v	
Ст Зеп	0,21	0,55	0,17	0,033	0,010	0,11	0,060	0,062	-	
Cr T (G-34)	0,16	0,45	0,16	0,30	0,014		0,03	0,03	-	_
121°2C N# (C=60)	0,12	1,48	9,53	0,020	0,009	0,19	0.13	0,090	0,16	0,16
12X12CM4 (G=75)	0,12	1,46	0,50	0.024	0,010	0,16	0,15	0,78	0,18	0,18
14X1°C (C—75)	0,16	1.05	0,46 0,52	0,031		0,022	0,02	0,54	_	-

Изучение характеря коррозии проводилось металлографическим методом. Поперечные шлифы прокорродированных образцов трацились в 4% спиртовом растворе взотной кислоты, изучались и фотографировались на микроскопе МИМ-8.

Результаты металлографических исследований после и 6 месяцев испытаний в коррозисни й камере в 6 месяцей в истурных условиях показали: для стали марки. Ст 3сп. характерный язвенный тип коррозии при испытаниях и коррозионной камере и в городской промышленной атмосфере. В условиях мартеновского цеха разрушение носит равномерный характер.

У стали марки Ст. Т коррозия питиами в коррозионной камере после 3 месяцев испытаний переходит в язвенную. Результаты 6-месячных испытаний показывают, что происходит локализация процесса, при этом скорость разрушения волрастает. Язвенный тип коррозии сохраняется и в условиях городской атмосферы. В мартеновском цеже разрушение поверхности металла равномерио.

Характерным для стали марки 14XIC является язвенный тип коррозии в камере. Однако после 6 месянев испытаний появилось большое число разрушений типа подповерхностных, которые берут начало от стенок коррозионных язв и проходят в направлении, нараллельном поверхностной кромке. Наблюдалось подкорковое разрушение стали 14XIC во влажной камере через 6 месяцея испытаний. Под широким коррозионным поражением была обнаружена трещинка, которая начиналась от стенки язвы, но проходила вначале по гранине зерен — первая сталия развития коррозионного процесса; затем на-

блюдалось увеличение и утолшение продольной трещинки, что приводило к подповерхностным разрушениям. Аналогичен тип разрушений этой стили в городских условиях. Подповерхностные разрушения могут привести к отделению верхних поверхностных слоев металла (процесс отслоения), обнажая новые, и замедлить стабилизацию процесст коррозии. В условиях мартеновского неха разрушения носят язвенный характер.

Для стали марки 12120 МФ, легированной небольшими добавками вападия, характерным являтся язненный и инттинговый типы коррозии в исследуемых условиях Питтинговые разрушения начинаются не только от поверхностной корки металля, но и со дна язвенных поражений. Питтинги, экие у начала, по мере удаления от поверхности расширяются и закличиваются конц итрированными и инде пустот разрушениями, от которых, в своя очередь, проходят протоки корролнонных поражений во все стороны, образуя рыхлую поверхностную корку.

Язненный и полпонерхностные типы поражений свойственны и для сложнолегированной стали марки 12ХГ2СМФ в рассматриваемых условнях. Глубина язв достигает 1 или после 6 месяцев коррозии в коррознонной камере, в то время как у стали Ст Зсп 0,1 им скорость коррозии этой марки стали на начальном этопо исследования (3 месяца) также превышала скорость коррозни ствли марки Ст Зсп. Затем наблюдалось замедление процесса поррозни. Глубокие язны ослабляют сечение и, являясь концентрятором напряжений, в определенных условиях могут привести к хрупкому разрушению. Такого же типа поражения наблюдаются и в городских атмосферных условиях. От питтинга вглубь проходит коррознонная трещина. Слабое траиление шлифов, при котором еще не видны границы верен, по видны коррознонные поражения, показало, что процесс разрушения стали 12ХГ2СМФ, очевидно, начинается с грании зерен, затем разрушенные граничные прослойки утолщаются, захватывая верна, и заканчиваются концентрированными разрушениями.

Таким образом, исследование коррознонных разрушений рассматриваемых марок сталей в различных атмосферных условиях показало, что коррозионные разрушения изсят неравномерный характер; для сложнолегированных сталей марок 12Г2СМФ и 12ХГ2СМФ разрушения носят язиенный и питтинговый характеры; язвенные и подповерхностные разрушения свойственны стали 14ХГС; равномерный и язвенный типы коррозии характерны для стали марки СтТ; разрушения стали Ст. Зсп. посят равномерный и язвенный характеры; подповерхностные и питтинговые разрушения не характерны для стали Ст. Зсп. Подповерхностные разрушения стали 14ХГС могут вызвать отсланияние поверхностных слоев металла, что будет препятствовать процесссу стабилизации и обеспечит пролекание коррознонного процесса с первоначальной скоростью Глубокие язвенные и питтинговые поражения у сталей марок 12Г2СМФ и 12ХГ2СМФ могут служить резкими концентраторами напряжений и при низких температурах способствовать хрупкому разрушению.

МИСИ им. В. Куйбышева

Поступило 21.VI.1967

լ. Մ. ՄԵԼՔՈՆՅԱՆ

ԺԱԾԵԱԳԵԱԳ ԻՐՈԺՇԱՐԷՐԻ ԺԱԵԳԻՈՐՍԱ ԾԱՆԵԱՐԱՐԱԲ ԻՐ ԳԻՐԱԿԳՐԱԳ ՍՎԵՐԱՐԵՐ ԷՐՄ ԺԱՐԳՈՐԱՐԵՐ ԷՐՄ ԵՐԵՐԵՐԵՐ

Highnihnid

Հոդվածում բերված են տարրեր մինոլորտային պայմաններում (T), 14

TC. 22 — տեսակների պողպատների քայրայման բնույնի հետազոտության արդյունըները։ Ցույց է արված, որ շինարարական պողպատների համա
չափ քայքայումը, որը մինոլորտային պայմաններում հիմնական է համարվում,
միշտ չէ, որ տեղի ունի։ Այդ համաչափությունը հարաբերական և և հատուկ
չէ բարձրամուր և բարձրացված ամրության չերմակայուն պողպատներին։

ЛИТЕРАТУРА

- 1. Акимов Г. В. Структура и коррозия. Изв. АН СССР. ОАН. № 5, 1951.
- 2. Стрелецкий 11. С. Работа сталя в строительных конструкциях, 1956.
- Вольберг Ю. Л. Исследование влияния атмосферной коррозни на характер разрушения строительной стали. Юбилейный сбориик МПСИ, Металлические конструкции, 1966.
- Гладитейн Л. И., Литвиненко Д. А., Левинсон Х. Ш. Строительная сталь 12Г2СМФ и 12ХГ2СМФ для сварных конструкций, журн. "Сталь". № 4. 1967.
- 5. Кошин И. И. Экспериментальное изучение влияния конструктивной формы элементов стальных конструкций на стойкость против атмосферной коррозии. Со. гр. МИСИ, № 10. 1956

Տորսնիկական դրաութ, սերիա

XX, № 5, 1967

Серия технических наук

ЭНЕРГЕТИКА

э, с. погосъеков

МНОГОЛЕТИВЕ РЕГУЛИРОВАНИЕ ГАЗОПОТРЕБЛЕНИЯ В ЭНЕРГЕТИЧЕСКОЙ СИСТЕМЕ

В [2] автором рассматривался вопрос определения полного потребного объема аккумулирования газа применительно к тепловым электростанциям, использующим в качестве топлива газ, ведущим вынужденное сезонно-многолетнее компенсированное регулирование в энергосистеме. Способ определения объема опирается на метод статистических испытаний [3, 4], по которому моделируется искусственный энергетический ряд большой длительности и балансовым способом вычисляется потребный объем многолетнего аккумулирования [2].

Чем длиниее искусственный ряд, по которому вычисляется аккумулирующий объем W, тем надежнее значение потребного объема и тем меньше вероятность его полного использования. Вероятность полного использования этого объема обратно пропорциональна числу членов ряда N. Ясно, что эта вероятность уже при N > 100 будет весьма малой величиной и практическое осуществление объема со столь малой вероятностью его полного использования не может быть целесообразным.

Повышение этой вероятности до практически целесообразной величным может быть достигнуто за счет уменьшения объема аккумулирования (против потребной величины W), при котором полностью заполненное и опорожиенное состояния емкости за рассматриваемый срок N будут наблюдаться большее число раз. В их числе будут случаи и педостаточности объема, когда-либо по причине заполненности емкости не удается принять весь поступающий по газопроводу газ, либо по причине полного опорожнения ощущается потребность в дополнительном приеме газа по магистральному газопроводу.

Введем количественную оценку регулирующей способности аккумулирующей емкости через долю лет (из исех рассмотренных лет V), в которые обеспечивается многолетнее регулирование, т. є, когда аккумулирующий объем не переполняется и не оказывается опорожненным и дефицитные по газу годы. В качестве такого показателя может служить понятие обеспеченности p, применяемое и волохозяйственных расчетах. Если через m' мы обозначим число лет, в которые обеспечивается многолетнее регулирование, то обеспеченность объема многолетиего аккумулирования можно выразить через

$$p_{x} = \frac{m}{1 + N} 100.$$

Определение обеспеченности р. объема многолетнего аккумулирования базируется на рянее приведенной принципиальной схеме расчета [2] при ограничивающем условии—заданной величине объема иккумулирования w_p и исходит из предпосылки, что аккумулирующая емкость π_p уже перед началом эксплуатации наполовину заполнена газом. Последнее отправное положение является единственно целесообразным для работы газохранилища в режиме многолетнего регулятора полной сбалансированности (без сброса изаа), ибо ненозможно предсказать будет ли первым циклом работы газохранилища наполнение объема или опорожнение, так как оба эти события равновероятны. Емкость предварительно наполовину мнолненная газом, дает возможность завершать режимные циклы как полным заполнением, так и полным опорожнением объема с одинаковой степенько вероятности.

В работе системы газопровол-гозохранилище с заданными пираметрами пропускной способностью газопровода. Э и аккумулирующей емкостью — рассмотрим три состояния, характеризующих газопередачу и каждом году.

Первое состояние—когда газохранилище имеет промежуточное наполнение при полном удовлетворении потребителей газом. Этому состоянию удовлетворяет формальное условие — $w_p/2$ $= w_p/2$.

Второму состояния отвечают годы, когда газохранилище полностью опорожнено при повышениом (против газоподачи θ) газопотреблении ($1-3\theta>w_p/2$ или $1-w_p/2$). В этом случае потребитель ощущает недостаток в газе на величину $3\theta+w_p/2=\Delta\theta$.

И третий случай, когда газохранилище полностью заполнено при пониженном газопотри ления против подачи 3 (39 — или $39 > + w_p 2$); в эти годы ошущается излишек в газе и требуется снизить добычу газа на величину — 39 - 2 = +29 или $39 - w_p / 2 = 29$.

Оба последних случая будем квалифицировать как годы необеспеченные регулированием из-за недостаточной регулирующей способности газохранилища активной емкостью ——

Согласно изложенному, расчет регулирования газопотребления по балансовому уравнению (1) должен вестись так, чтобы соблюдались условия непереполнения в "непереопорожнения" аккумулирующей емкости, т. е. чтобы $-29-\omega_{pl}2$ или $-2-249-\omega_{pl}2$.

В таком случае в годы, когда численные значения наполнений и опорожнений 5.9 (балаясовых разностей) по абсолютной величине оказываются выше наданной предельной величины $w_{\mu}/2$, в расчет должна включаться для исчисления последующего года величина $w_{\mu}/2$ с соответствующим балансовой разности знаком.

Для последующего же учета встречающихся дефицитов — $\Delta \theta = |-\delta \theta| - w_n/2$ и излишков — $\Delta \theta = |+\delta \theta| - w_n/2$ газа последние дополнительно фиксируются в процессе вычислений.

Формализируя изложенные условия, получим следующий алгоритм расчета по балансовому уравнению (1):

$$\begin{split} \partial_t &= \left\{ \begin{array}{ll} (\delta \partial_{t-1} + \bar{\partial} - \bar{\partial}_t) & \text{при } -\frac{\overline{w}_p}{2} & (\delta \partial_{t-1} + \bar{\partial} - \bar{\partial}_t) > \frac{\overline{w}_p}{2} \\ &= \frac{\overline{w}_p}{2} & \text{при } (\delta \partial_{t-1} + \bar{\partial} - \bar{\partial}_t) > \frac{\overline{w}_p}{2} \\ &= \frac{\overline{w}_p}{2} & \text{при } (\delta \partial_{t-1} + \bar{\partial} - \bar{\partial}_t) < -\frac{\overline{w}_p}{2} \\ &= \left[\begin{array}{ll} 0 & \text{при } -\frac{\overline{w}_p}{2} \leqslant \delta \, \bar{\partial}_t \leqslant \frac{\overline{w}_p}{2} \\ &+ \left(\left| \delta \partial_{t-1} + \bar{\partial} - \bar{\partial}_t \right| - \left| \frac{\overline{w}_p}{2} \right| \right) & \text{при } \delta \bar{\partial}_t > \frac{\overline{w}_p}{2} \\ &- \left(\left| \delta \bar{\partial}_{t-1} + \bar{\partial} - \bar{\partial}_t \right| - \left| \frac{\overline{w}_p}{2} \right| \right) & \text{при } \delta \bar{\partial}_t < -\frac{\overline{w}_p}{2} \end{split}$$

Если через m_0 обозначить число лет, и которые заданный объем аккумулирования — не обеспечивает полного регулирования, т. е. когда газохранилище заполнено при наличии излишков газа ($\delta \mathcal{D} > \varpi_p/2$) и опорожнено при дефиците и нем ($\delta \mathcal{D} < ---$), то обеспеченность объема аккумулирования выразится так

$$p_A = \frac{N - m_a}{N - 1}$$
 100.

С другой стороны, если систему газопровод-газохранилище рассматривать по отношению к потребителю, когда перебойными годами для него являются только годы дефицитные по газу, обеспеченность работы системы с точки зрения бесперебойного снабжения потребителя газом будет количественно оцениваться через число m_1 дефицитных лет

$$p_{\rm c} = \frac{N - m_3}{N + 1} 100.$$

Ввиду того, что нами рассматриваются нормально распределенные процессы, число дефицитных m_1 и избыточных m_n лет, как подтверждают расчеты, практически оказывается одинаковым $m_1=m_n$ и в сумме они дают число лет m_n необеспеченных регулированием $m_1+m_2=m_n$.

В таком случае можно записать, что

$$p_{\rm c} = \frac{N - \frac{m_{\rm d}}{2}}{N + 1} 100.$$

Анализ расчетов по регулированию на смоделированных длинных рядах показывает, что многолетнее регулирование газопотребления при ежегодной подаче газа к газохранилищу на уровне Э приводит к неоправданно большим значениям объемов аккумулирования W.

Причиной этому является следующее обстоятельство.

Нами принято, что в многолетнем разрезе выработка электроэнергии и соответственно газопотребление ТЭС протекают как стационарный случайный процесс, выраженный нами одной реализацией большой длительности, в виде смоделированного искусственного ряда годовых объемов энергии (газопотребления) пормальной распределенности [1, 2].

Естественно, что основной параметр этого ряда 9— среднемноголетияя величина годового объема газопотребления числению не будет равна средним значениям 9 на отдельных участках этого ряда, в силу циклических свойств, присущих стационарным случайным процессам.

Раз это так, то необходимо приспособить подачу газа к этим средним значениям на отдельных участках, чтобы выдержать некоторый боланс между подачей и потреблением газа. В противном случае эта разница будет приводить к чрезмерному возрастанию потребных объемов аккумулирования.

Приспособление подачи газа к колеблющимся значениям среднемноголетнего уровия потребления целесообразио осуществлять соответствующими периодическими многолетними изменениями газоподачи. Такие компенсирующие изменения газоподачи от среднемноголетнего значения \mathcal{F} на величину $\Delta\mathcal{F}$ могут производиться по признаку наблюдаемой тенденции роста балансовых разностей $= \lambda \mathcal{F}_t$. Скажем, если балансовая разность за прошедний (t-1) год была положительной, τ , е. газохранилище к началу t-го года заполнено более чем на половину своего активного объема, то подачу газа в t-ом году следует снизить против \mathcal{F}_t на установленную теличину $\Delta\mathcal{F}_t$ г. е осуществить ее на уровне (\mathcal{F}_t) . Если же балансовая разность в (t-1) году была отрицательной, τ , е, газохранилище к началу t-го года заполнено менее чем на половину своего объема, то подачу газа в t-ом году следует осуществить на уровне \mathcal{F}_t \mathcal{F}_t .

Схема расчета многолетнего регулирования газопотребления с учетом компенсирующего режима подачи газа может быть формализована так

$$\delta \mathcal{J}_{t-1} + \overline{\mathcal{J}}_{t} - \mathcal{J}_{t} \quad \text{при} \quad -\frac{1}{2} \leqslant \delta \mathcal{J}_{t-1} \cdots \overline{\mathcal{J}}_{t} - \mathcal{J}_{t} \leqslant \frac{n_{p}}{2}$$

$$-\frac{n_{p}}{2} \quad \text{при} \quad \delta \mathcal{J}_{t-1} + \mathcal{J}_{t} - \mathcal{J}_{t} \leqslant -\frac{n_{p}}{2}$$

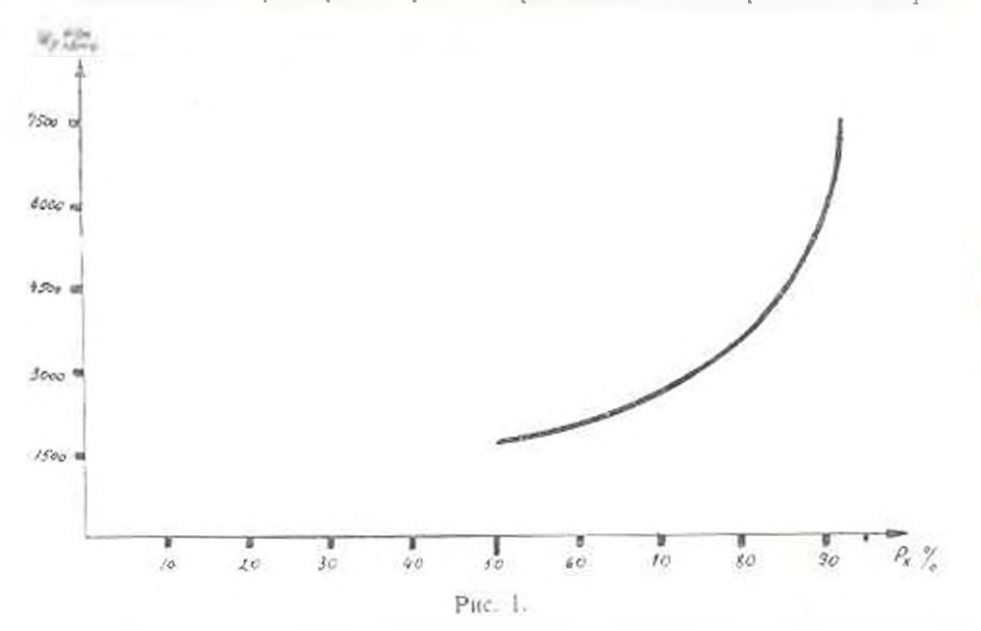
2. TH. Xà 5.

где

$$\exists - \begin{cases} 3 & \text{npn } \delta \beta_{t-1} = 0 \\ \beta - \Delta \beta & \text{npn } \delta \beta_{t-1} < 0 \\ \beta - \Delta \beta & \text{npn } \delta \beta_{t-1} > 0 \end{cases}$$

Путем последовательных просчетов по заданному многолетнему ряду газопотребления на разные величины объемов аккумулирования w_p при заданном значении среднемноголетней подачи газа можно составить зависимость $w_p = f(p_1)$.

В качестве примера на рис. 1 приведена такая кривая по вырав-



нивающей энергии со стандартом отклонения многолетних колебаний s=880 млн. квич. Эта зависимость позволяет подобрать к заданной среднемноголетней газоподаче $\mathcal F$ потребный объем аккумулирования w_p , обеспечивающий многолетнее регулирование на заданную величних обеспеченности p_s или p_s .

ЕИППНипА

Поступило 26.Х1,1966

E. H. MIRQUUPLAND,

ԳԱԶԱՍՊԱՌՈՍՆ ՔԱԶԱԱՄՅԱ ԿԱՐԿԱՎՈՐՈՒՄԸ ԷՆԵՐԳԱՍԻՍՏԵՄՈՒՄ

Հոդվածում շարադրված է գաղամատակարարման կարդավորման հաշվային սխեման՝ կառուցված հաշվեկշռային մեքնողի հիման վրա։ Մխեման մշակված է վիճակադրական փորձարկումների մեքնողով՝ չերմային էլեկարակայանի դաղասպառման մոդելացված արհեստական բաղմամյա շարքի համար։

Կարդավորժան Լությունը կայանում է նրանում, որ դաղասպառման բացժամյա չարթի Տիման վրա, դացի բաղմամյա ժատակարարման և կուտակման արված միջին ծավայի դեպքում, կատարվում է կուտակի; տարողուիյան պար
թեր ծավալների համար կարող են կատուցվել կուտակի; տարողուիյան և ծա
բեր ծավալների համար կարող են կատուցվել կուտակի; տարողուիյան և ծա
բեր ծավալների համար կարող են կատուցվել կուտակի; տարողուիյան և ծա
բեր ծավալների համար կարող են կատուցվել կուտակի; տարողուիյան և ծա
կալի ապահուկվածության կախման կորերը։

ЛИТЕРАТУРА

- 1. Осепин 1. М., 16 дулласва Ф. С. Экон мика тазохранилища в эпергосистеме Л., 1961.
- Погосбеков Э. С. Определение объема многодетнего аккумулирования (али для тенловых заектростанции інергосистемы Известня АН Арм (С. Р. т. XX, № 1, 1967.
- 3. Сафаров Е. Д. Основы водохолійственных и энергоэкономических расчетов гидроздектрических станций. Ереван, 1965.
- Сванид с Г. Г. Основы расчета регулирования речного стока методом. Монте-Кардо. Тбилиси, 1964.

Герин техинческих наук

ГИДРОТЕХНИКА

ВОДНЫЙ II ТЕПЛОВОЙ БАЛАНСЫ СУШИ БАССЕЙНА ОЗЕРА СЕВАН

Элементы теплового баланса суши бассейна оз. Севан до настояшего времени изучены недостаточно, в то время как элементы водного баланса суши и водного-теплового баланса озера подробно исследованы [1]. Последнее обстоятельство облегчает расчеты по определению составляющих теплового баланса суши бассейна озера. Результаты исследования могут быть применены для определения элементов водного баланса сельскохозяйственных полей и установления норм водопотребления сельскохозяйственных культур на герритории суши Севанского бассейна.

§ 1. Элементы водного баланса суши бассейна озера

Осядки, ныпавшие на поверхность суши, расходуются на сток, испарение и инфильтрацию.

Для территории, очерченной водораздельной линией, урависине водного баланса в общем случае можно представить в виде

$$r = E - q_p - q_p = 0 \quad \equiv v_n. \tag{1.1}$$

Здесь q_{p} — речной сток; q_{r} — глубинная инфильтрация; v_{b} — влагообмен с соседиими бассейнами; v_{n} — изменение влагозапасов в пределах речных бассейнов; E — испарение.

Уравнение (1.1) является уравнением водного баланса речных бассейнов и для больших промежутков времени и бессточных территорий может быть представлено в виде

$$r = E + q_i = q_i \tag{1.2}$$

Или в еще более простом виде

$$r = q_r + \mathcal{E}. \tag{1.3}$$

Следовательно, для оценки нормы испарения достаточно иметь многолетние данные об атмосферных осадках и стоке.

Методика определения стока и испарения в гидрологическом отношении малоизучениых территорий изложена в [1, 2]. Ниже излагаются результаты определения составляющих водного баланса сущи бассейна оз. Севан.

Осадки. Для воднобалансовых расчетов необходимо располагать сравнительно точными данными об осадках, фактически выпадающих на подстилающую поверхность исследуемов территории. Однако вычисление этой составляющей водного баланса связано с трудностями, обусловленными как недостатками существующей мето ики измерения осадков, так и условиями сложного горного рельефа.

По материалам экспериментальных наблюдений в [3] предложена формула зависимости испарения от скорости ветра, которая рекомендована автором для расчета потери на испарение. В [3] отмечается, что потери на испарение из дождемера ГГП-3000 значительно исиьше, чем на осадкомера Третьякова, приемная поверхность которого расположена на уровне поверхностя земли и так зак потери на смячивание для обоих одинаковы, расхождения в похазанных полькомера Третьякова, установленного на высоте 2 и на смялей и дождемера ГГП-3000 могут быть обусловлены влиянием встра на учаваливаемость осадков и испарение их из осадкомерав.

На современном уровне составления водного баланся авторы считают целесообразным ввести в практику поправку на смичивание и использовать данные сетевых и дений по дождемеру ГГИ-а кол для установления величины недоучета, обусловленной илиянием встра. Для вычисления величины ошибок на смачивание выбраны пехоторые хврактерные пункты Сенанского басса на: Сенан ГМО, Шоржа, Марра, Мартуни, Яных. Отдельно для к од станции пределены месячные и годовые прод с 1952 по 1961 гг. Проведенный анализ дает основание данные наблюдений пересчитать, увеличивая количество измеренных осадков на 5—126 гг.

Оценка недоучета твердых осадков гора до сложнее и сравнительно мало исследована. Уточнение величины осадков достигается сравнением данных измерений твердых осадков осадкомером Третьякова с данными снегосъемок. Некоторые попытки уточнения твердых осадков на Араганском массиве [2] показали, что недоучет твердых осадков, измеренных осадкомерами Третьякова, имеет порядок испарения со снежного покрова за период его сущестнования

При составлении карты осадков, представленной на рис. 1, были использованы все существующие и усовершенствованные методы составления карт. На карте изогнеты провелены через 50 жм. В результате планиметриропания карты среднее количество годовой суммы атмосферных осадков по Севанскому бассейну получилось ранным 590 жм, что на 7% больше, чем было получено 1. А. Алексиндряном [1].

В силу сложности рельефа бассейна опера плесь имеются резко отличающиеся друг от друга микроклиматические районы со значительным различием годовых сумм атмосферных осадков.

Как известно, количество осадков в зависимости от высоты местности увеличивается. Однако в горных условиях часто выделяются и котловинные участки территории, где выпадает сравнительно мало осадков. К ним относится и бассейн оз. Севан, для которого, наряду с котловинностью рельефа, имеет место и другой фактор, который также уменьшает количество осадков. Им является водная новерхность, температура которой сильно отличается от температуры поверхности сущи. В теплый период года, когда над сущей преобладают конвективные осадки, сравнительно визкая температура водной

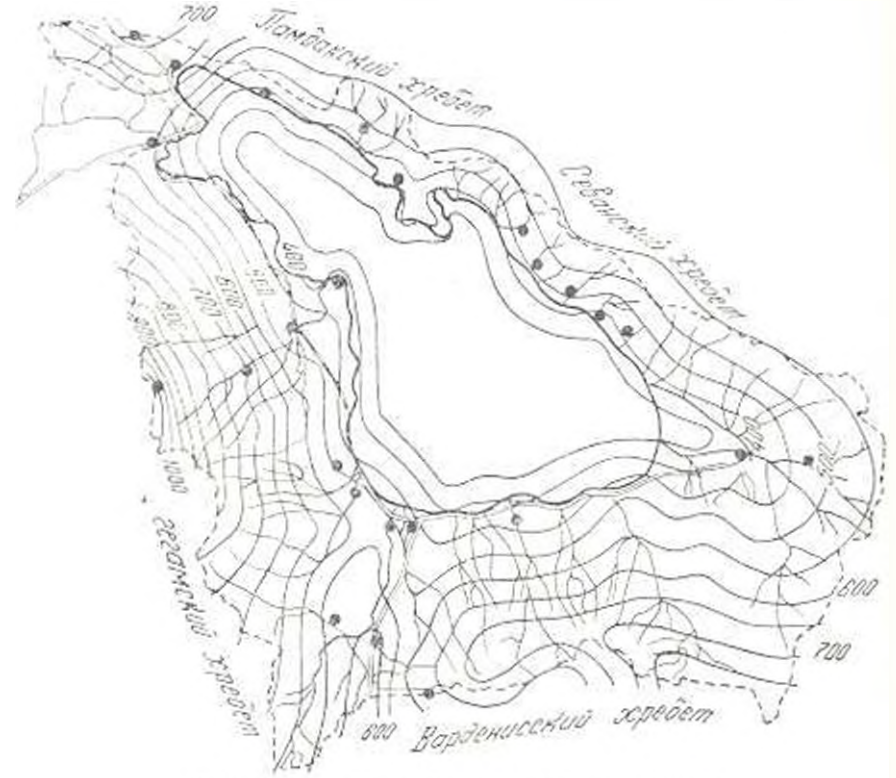


Рис. 1. Карта распределения осадков в мм/год.

новерхности препятствует развитию восходящих токов в центральной части бассейна. В зимний период, наоборот, преобладают адвективные ослдки, но паличие положительной температурной апомалии воздуха ная водной поверхностью создает неблагоприятные условия для образования осадков.

Как видно из рис. 1, уменьшение осадков происходит по направлению к озеру. По данным метеорологических станций уменьшение осадков наблюдается в Севан-остроне по сравнению с Севаном, в Цоваке по сравнению с Зодом и т. д. Из просмотра карты и результатов наблюдений прибрежных станций можно заключить, что сенерная и сенеро-западная части бассейна озера Севан характеризуются значительно большим количеством осадков, чем все осталь-

ные районы. Это объясияется тем, что северная и, особсино, северозападная часть бассейна наиболее доступны внешним потокам возлушных масс.

Сток. Речной сток в общем стоке, стекающем в озеро Севан, составляет наибольшую часть. В гидрологическом отношении изучено 70% общей территории [1] сущи бассейна озера. На основании изучения речного стока, подсчитанного по данным измерений на гидрологических постах за период 1927—1959 гг. Э. А. Атаян [1], построены графики связи модулей речного стока изучениях рек со средней вавешенной высотой местности. Благодаря этому стало возможным подсчитать сток с неизученных территорий.

Объем стока с территорий Севанского бассейна в среднемноголетнем разрезе составляет 850 млн м³ год, причем 730—750 млн м³ год стекает в озеро. Водозабор на орошение составляет около 90 млн м³.

§ 2. Испарение с поверхности суши и водный баланс бассейна озера

Существующие методы определения испарения с сущи дают удовлетнорительные результаты в равнинных условиях, так как расчетные значения испаряемости хорошо согласуются со значениями атмосферных осадков и стока В [2] было показано, что применение этих методов для определения испарения с сущи в горных условиях нецелесообразно по причине недостаточности разработки последиих.

Принятая нами схема основывается на совместном рассмотрении уравнений водного и теплового балансов суши. Входяние в эту схему параметры определяются экспериментальным путем и, как показывают результаты экспериментальных исследований, значения их в различных физико-географических условиях меняются незначительно. Это обстоятельство позволяет и приближенных расчетах принять нараметры постоянными.

Для расчета испарения и элементов водного баланса сущи весь бассейн разбит на определенные участки (сенокосы и пастбища, орошаемые и исорошамые поля и, наконен, неиспользуемые земли), для которых рассчитаны величины атмосферных осадков, поверхностного стока, испарения и глубиннов инфильтрации.

Поверхностный сток, как составляющий речного стока, определямся по данным гидрографа, причем он с орошвемых и неорошаемых полей в первом приближения принят равным нулю, ввиду его малости.

Рассчитанный слой осадков на орошаемых участках Севанского бассейна равен 450 мм и на неорошаемых 525 мм в год.

Водозабор на орошение в бассейне озера в среднем составляет около 90 млн м³ год.

В табл. 1 приведены средине величины элементов водного баланса суши, рассчитанных за многолетний период в млн. и год.

Tabauua 1

Водимі баланс суши Севанского бассейна

Участки	Площаль,	Осадки		Исларение		Сток	
	€,W ²	мли <u>.w¹</u> год	w.w. bos	E31. 100	अस २५०	ем. 1903	70g
Сепокосы и пастбинда орошаемие и поля обращаемые с и поля Неиспользуемые лемли Забор на орошение от	1300 400 400 1565	770 180 210 1040	592 450 525 665	576 244 180 450	443 610 450 288	194 36 30 590 —100	149 90 75 377 27
Hroro · · ·	3665	2200	600	1450	396	750	304

§ 3. Тепловой баланс поверхности сущи бассейна озера

Уравнение теплового баланса без учета затрат тепла на биофизические процессы, которые, как правило, не превышают $1-2^0 f_0$ от основного составляющего уравнения теплового баланса, может быть представлено в виде

$$R = LE + P + B, \tag{3.1}$$

Здесь R — радиационный баланс; LE — затраты тепла на непарение; P — турбулентный теплообмен с атмосферой; B — поток тепла вупочву.

Систематическое изучение радиационного баланса и его составляющих в бассейне оз. Севан были начаты в 1956—1957 гг. на полуострове Севан и Мартуни. Материалы измерений составляющих радиационного баланса до 1961 г. обобщены и использованы для определения радиационного баланса оз. Севан [1]. Злесь же приводятся данные по определению составляющих радиационного баланса суши бассейна оз. Севан. Радиационный баланс определяется по формуле

$$R = S_n (1 - \alpha) - J_n. \tag{3.2}$$

где S_n — суммарная коротковолновая раднация в действительных условиях; α — альбедо; J_n — эффективное излучение.

В климатологических расчетах радиационного баланса его величина, обычно, определяется в соответствии с формулой (3.2) как разность поглощенной радиации и эффективного излучения. В исследованиях ГГО по климатологии теплового баланса для расчетов суммарной радиации использовалось уравнение [4]

$$S_a = S[1 - (1 - K_a) n] \tag{3.3}$$

где S — суммарная радиация при отсутствии облачности; K_n — коэффициент, определяющий, какую часть суммарной радиации при безоблачном небе составляет действительная суммарная радиация при полной облачности; n_0 — облачность в долях единицы. Используя имеющиеся материалы наблюдений по облачности, позможной сум-

марной и действительной солнечной радиации, произведенных на метеорологических станциях Севан и Мартуни, были определены среднемесячные значения K_n и S.

Эффективное излучение определялось по формуле

$$J_{\nu} = J_{0} \left(1 - C n_{0}^{m} \right) - 4 z f T^{3} \left(T_{\nu} - T_{\nu} \right)$$
 (3.4)

Здесь: σ — постоянная Стефана-Больцмана; f — коэффициент излучения; T_n — температура излучающей поверхности; T_r — температура воздуха.

По Онгстрему величина C, при m=1, в среднем равна 0.75. Предварительные расчеты показали, что в условиях бассейна оз. Се-

ван величицу С можно принять равной 0,75.

Исходные данные и расчетные величины суммарной, поглощенной радиации, эффективного излучения и радиационного баланса в

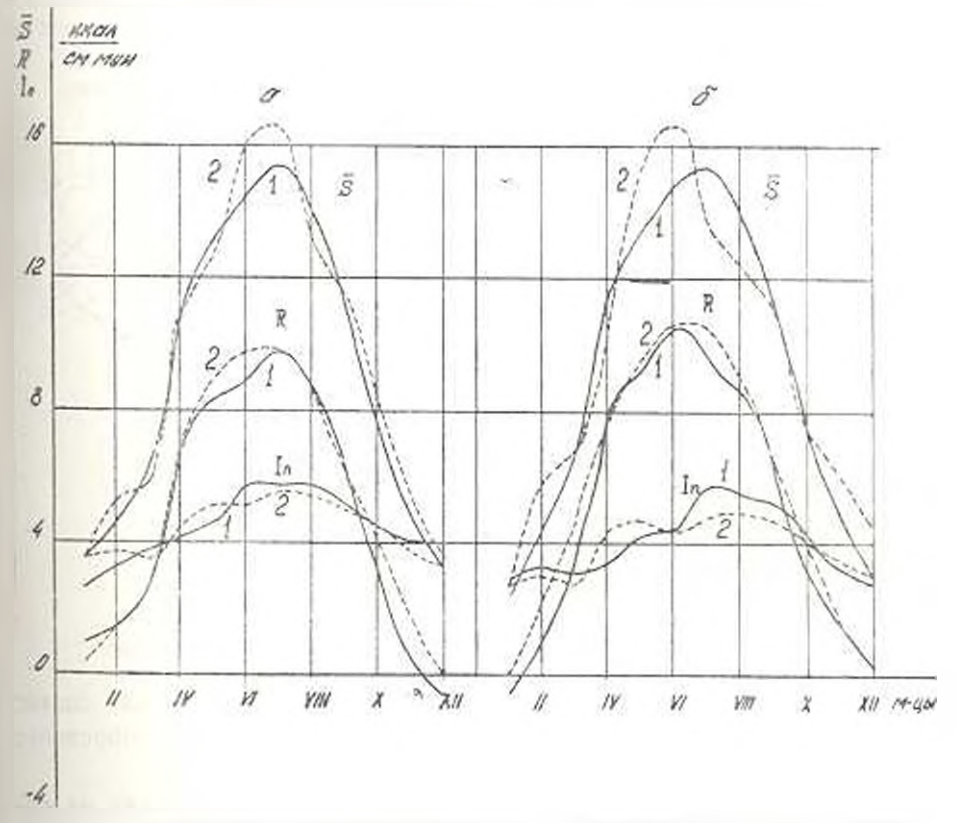


Рис. 2. Годовой ход поглощенной радиании, радиационного баланса и эффективного издучения в — Севан ГМО; 6—Мартуни в и 3—вычисленные; 2 и 4— измеренные.

пунктах Мартупи, Севан, Яных, Ератубер были авторами табулированы и здесь не приводятся за педостатком места.

Сопоставление намеренных и вычисленных значений составляющих радиационного баланса в пунктах Мартуни и Севан представлено на рис. 2.

Песмотря на го, что конфигурация рельефа Севинского бассейна отличается от Арвгацского массива, увеличение высоты местности на 1 км приводит к уменьшению радиационного баланса, в обеих случиях на 10 ккал см² год. Полученияе данные позволяют построить карты годовых величин поглощенной радиации и радиационного баланса. На рис. З представлена карта распределения радиационного баланса в ккал см² год.

Проведенные исследования дали возможность выявить ряд мікономерностей тепло- и влагообмена в горных районах. Погодные услония в горных местностях благоприятствуют получению огромного ра-

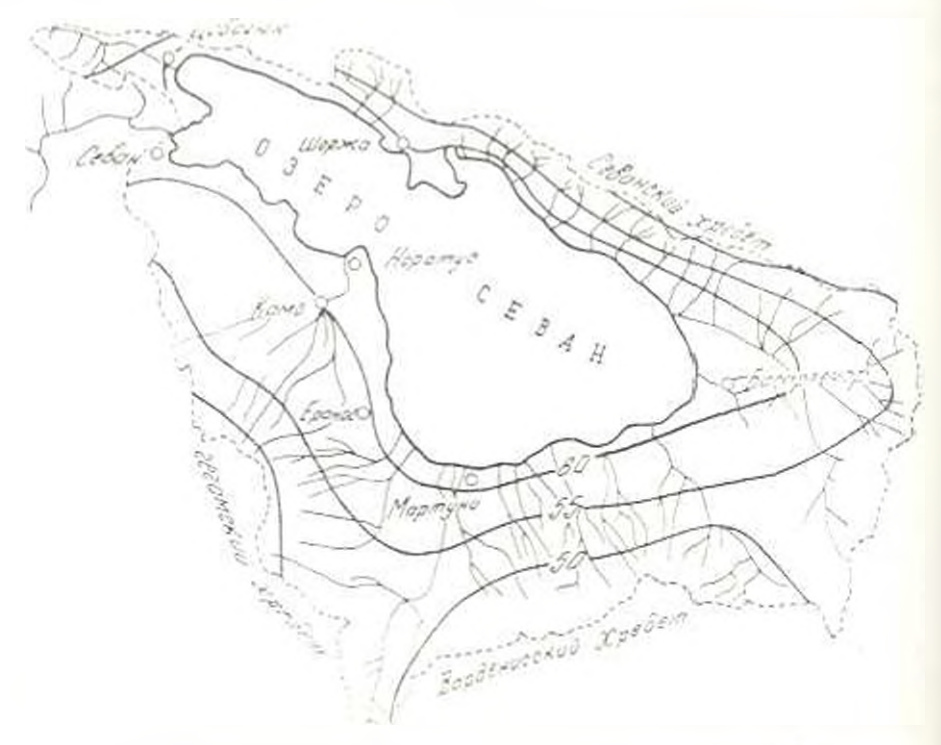


Рис. 3. Карта распределения радиационного баланса в киля след год.

днационного тепла. Достаточно отметить, что радиационный баланс оз. Севан составляет 71 ккал см год, в то же время прибрежные районы сущи озера получают 65 ккал см² год

Бассейн озера Севав находится на 40 с. ш., расположен на высоте более 2000 и над уровнем моря и получает такое радиационное тепло которое присуще районам 20—30 с. ш.

Большой приход радиационного тепла, с одной стороны, и инакая температура вместе с незначительным значением цефицита влажности воздуха, с другой, принодят к тому, что лишь 70% радиационного баланса может быть израсходовано на возможное максимальное испарение. Радиационный баланс сущи бассейна оз. Севан в среднем составляет около 55 ккал/см° год. 60% которого расходуется на тур-булентный теплообмен сущи с атмосферой, а остальные 40%—на испарение.

Важнейшим показателем географической зональности является коэффициент сухости (А.И.), который по данным [4] для лесной зоны меняется от 0.3 до 1.0, а для стенной и полупустынной зоны соответственно от 1.0 до 2.0 и от 2.0 до 3.

По нашим данным на прибрежном участке района измеренный радиационный баланс, осредненный за 8 лет, составляет около 65 ккал см. год. Следовательно, коэффициент сухости для этого района больше 2,0. Согласно [1] этот участок лолжен находиться в полупустынной зоне, между тем как этот участок находится в степной зоне. Поэтому можно прийти к выводу, что коэффициент сухости без соответствующих уточнений нельзя использовать и качестве показателя географической поясности в горных условиях.

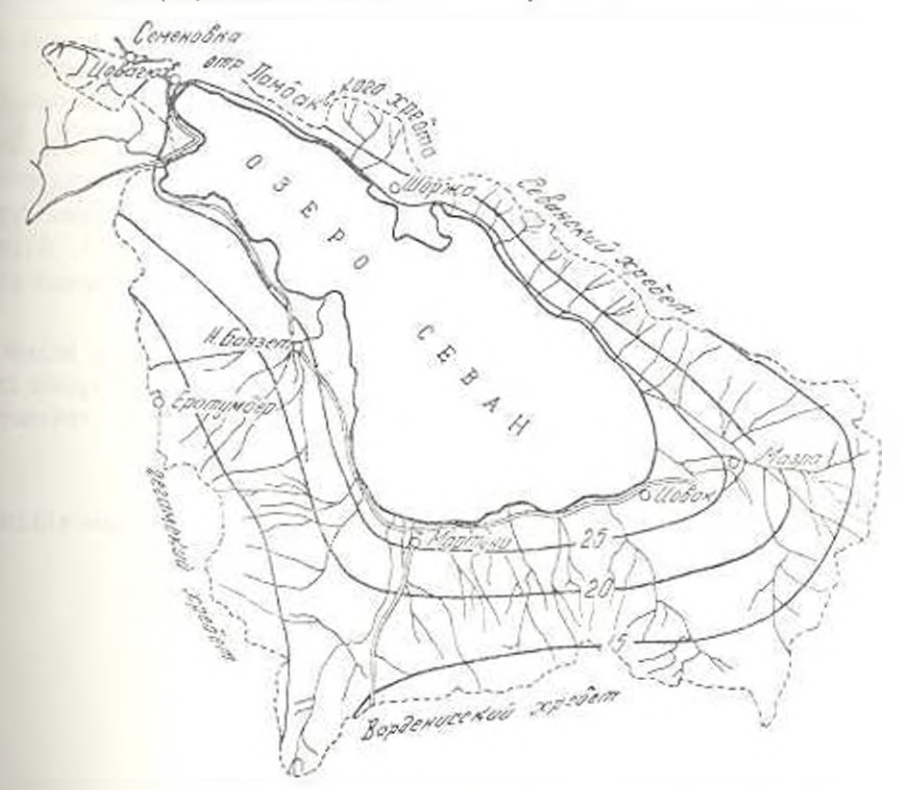


Рис. 4. Карта распределения затрат тецая на испарение в ккал/ем год.

Приведенная градация географической зональности в работе [4] будет сохранять свою силу применимости в горпых условиях, если радиационный баланс, входящий в соотношение R/Lr, заменить затратой тепла на нозможно максимальное испарение LE_0 . При этом коэффициент сухости E_0 г окажется меньше 2,0, которому будет соответствовать степная зона, согласно градации [4].

Приведенные расчеты позволили определить всличину радиациовного баланса и затрат тепла на испарение, на основании которых составлены карты (рис. 3 и 4).

Ниже, в табл. 2, приведены результаты расчета составляющих теплового баланса. Турбулентный теплообмен с атмосферой определялся как разность радиационного баланса и затрат тепла на испарение.

Таблица 2 Тепловой баланс поверхности суши бассейна оз. Севан в $\kappa \kappa a a \cdot \epsilon x^2$ год

Элементы	Участки					
	сенокосы и пастбица	с, х поля	неорошае- мые с/х поля	непсполь- зуемые аемли		
LE	24	32	29	16		
10	31	33	31	36		
R	55	65	60	50		

Величину стока можно определить как разность величины атмосферных осадков на территории суши бассейна озера и испарения с этой же территории. Величину стока можно определить также гидрологическими методами, использованными, например, Э. А. Атаян [1]. Результаты расчетов, приведенных в [1], с нашими данными хорошо согласуются.

Отметим, что результаты расчета испарения по методам водного и теплового балансов хорошо между собой согласуются и, кроме того, оба баланса замыкаются, что говорит о достаточной точности указанных результатов.

Институт водных проблем и гидротехники ММиВХ АрмССР

Поступило 8.111,1965

ա և Մերթարցան, Հ. Հ. գանջանցան, Ա. Մ. ԵրժՄանցան

մեվ ԱՆԱ Վեր ԱՎԱԶԱՆԻ ՑԱՄԱՔԻ ԶՐԱՅԻՆ ՈՒ Զոնժողություն ՀԱԵՎՈՒՅԻԱՐԸ

Underdenid

Հողվածում բերվում է Սևանա լաի ավազանի դամաքի չրային ու ջերմային հաշվեկչիոների և նրանց բաղադրիչների հաշվարկները։ Արային հաշվեկչիրի հավասարումը գրված (1. 2) անսքով, ցույց է տալիս, որ անհրաժեշտ է հաչվել մինոլորտային տեղումները, մակերևսային հոսքը և պոլորչիացումը։ Բերված է տեղումների բարանդը (գծ. 1)։ Հրային հաշվեկչիսի հաշվարկի արդյունդեները արված են աղյուսակ 1 ում։ Ջերմային հաշվեկչիսը ներկայացվում է

(3.1) հավասարումով. Առանձին որոշված են նրա բոլոր թաղագրիչները։ Դժ.
2-ով ցույց կլանված ձառագայիային ընկացքը։ Բերված նն ռագիպքիսի և արդյունավետ ճառագայիման տարեկան ընկացքը։ Բերված նն ռագիացիոն 4 վեկչիսի և գոլորչիացման վրա ծախավող ջերմության քարանգները (գծ. 3 և 4)։ Հաշվարկների արդյունքների համեսատական քննությունը
ցույց է տալիս, որ երկու մեթողներով հաշված գոլորչիացման մեծուս ունն
գործնականում համուն ևն։

Վերջում «ամառոտակի «արադրված
են Սեանա ընի ամրողջ ավագանի վեր հետ միասին) ջրային հաշվեկչիսի հաշ

ЛИТЕРАТУРА

- Мхитарин А. М., Алексанорин Г. А., Атаки Э. А. Водный балане од. Сенан Результаты комплексных исследовании по Севанской проблеме, г. 1. Ереван, 1961.
- Пахнанин Г. Г. Могодика определения испарения и горима, условиях и се применение к расчету подного и теплового балансов Арагацского массива. Антороферат диссертации. Л., 1964.
- Голубев В. С. О точности учета житыму осадков в теплым период года. Труды
 Всесоюзного научного метеорологического совещания, т. 1V. Л., 1962.
- Будыко М. П. Тепловой баланс земной поверхности. Гидрометеопалат. Л., 1956 и сб. Тепловой и водный режим земной поверхности. Гидрометеопалат. Л., 1960.

Серин техинческих на

ТИДРОТЕХНИ

к. х. овсенян, р. м. карапетян

ФОТОГРАММЕТРИЧЕСКИЙ МЕТОД ИССЛЕДОВАНИЯ РАСПРОСТРАНЕНИЯ МОНОМОЛЕКУЛЯРНОЙ ПЛЕНКИ ПА ПОВЕРХНОСТИ ВОДОЕМА

Пиститут водных проблем и гидротехники МВХ АрмССР провлит исследования по нанесению химиката на поверхность водоем для создания мовомолекулярной пленки с целью уменьшения испарния. В натурных условиях проводятся опыты по определению режма полачи химиката и условия его распространения. Одновремен исследуется работа автоматов, сконструированных для подачи химиката,

Для изучения понедения пленки и его распространения с возв шенности, с высоты 180 м и 157 м над водоемом производилась в носъемка и фотографирование участка озера с ковром химиката ч рез определенные интервалы времени. Регистрация ковров плен возможна благодаря тому, что при его наличии волны ряби гасято отражательная способность поверхности воды резко меняется и кадрах четко видны границы ковра пленки и чистой воды.

Для обработки опытных данных разработаны аналитический графический методы, которые позволяют по известным параметр местности, фото- и киноаппарата построить мештабные сетки. Наложнием этих сеток на фотокадр можно определить геометрические рамеры копра пленки в различные моменты и его удаление от берв

Масштабная сетка, с помощью которой обрабатываются кад фотосъемки строится следующим образом.

В масштабе строится поперечный разрез местности и его па (рис. 1), наносится точка A расположения фотоаппарата, инсота расстояние I до уреза воды, ширина задива I и ширина фронта у таповки автоматов M.

Угол у на рис. 1 соответствует углу, под которым был сфот графирован участок волной поверхности между берегами. Опуская точки a_1 перпендикуляр к оптической оси фотообъектива (на риоптическая ось отмечена штрих пунктиром), получим точки $b_1, b_2, ...$ Липия с точками b_1, b_2, b_3 является шкалой продольного масштам по которой можно определить размеры ковра пленки и его удален от берега. Например, участку a_1a_2 на поверхности воды на кадре о лет соответствовать отрезок b_1b_2 , участку a_1 — отрезок b_2 b_3 и т.

Синмок водоема с пленкой химиката на поверхности может иметь различные размеры в зависимости от того, во сколько раз будет увеличен негатив. Поэтому шкалу продольного масштябя надо

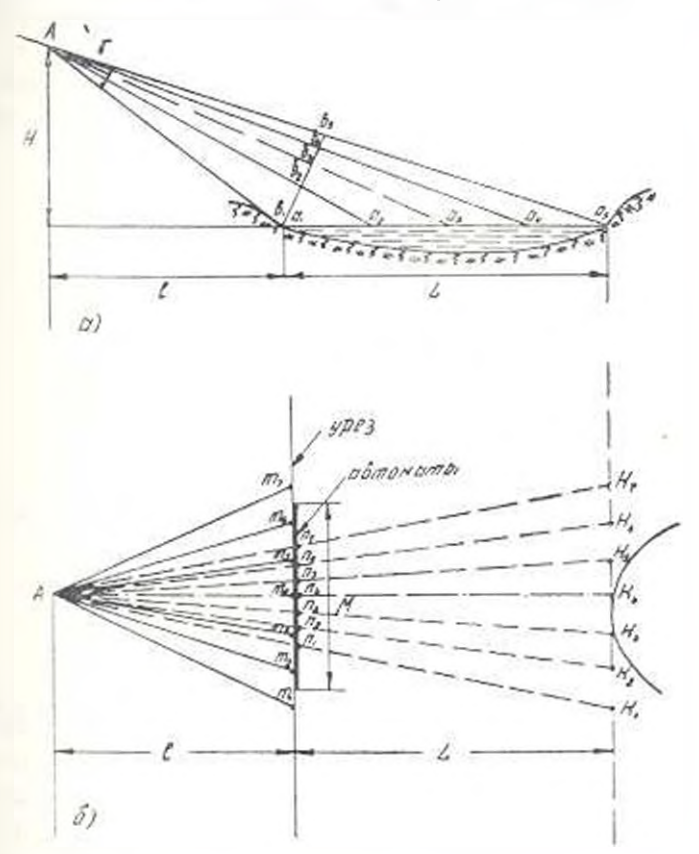


Рис. 1. Схема для построения масштабной сетки.

иривести в соответствие с размерами готовой фотографии кадра. Для этого шкалу $b_1, b_2, b_3 \cdots$ пропорционально уменьшаем или увеличиваем таким образом, чтобы $b_1 - b_2$ стало равно соответствующему

расстоянию а — а на фото. По этим данным напосятся горизонтальные линии продольного масштаба (рис. 2).

На плане местности по урезу воды отмечаются участки известной длины m_1m_2 , m_2m_3 . (рис. 1), например, по 100 м, которые проворционально переносится на мас-

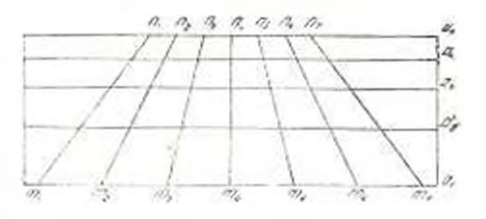


Рис. 2. Масштабная сетка.

штабную сетку по линии уреза водоема (рис. 2). На противоположном берегу (рис. 1) отмечаются отрезки k_2k_3 равные m_1m_2 m_2m_3 .

С помощью построения, ноказанного на рис. 16, получаются точки n_1, n_2, \dots Эти точки также переносятся на масштабную сетку (рис. 2). С помощью масштабной сетки и фотоместности определяются действительные размеры распространения пленки по поверхности нодоема.

Размеры и распространение мономолекулярной пленки можно определить аналитическим методом, исли оптическая ось фотовиварата направлена горизонтально, согласно рис. 3, получим

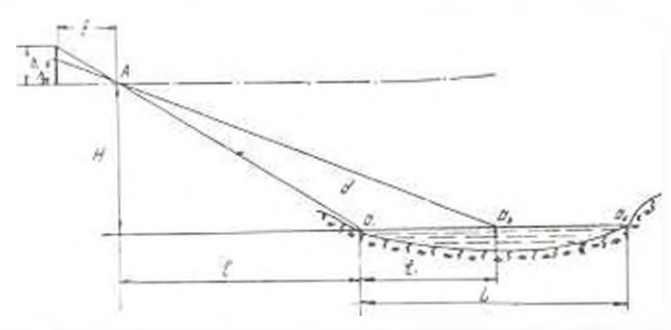


Рис. 3. К вналитическому определении скорости дрейфа пленки.

$$\frac{ff}{l} = \frac{h_1}{f} \,. \tag{1}$$

где

f - фокусное расстояние объектива.

Для любого другого положения этой точки a_i через время t будем иметь (рис. 3)

$$\frac{H}{l+l_1} = \frac{h_2}{f} \,, \tag{2}$$

где $l_1=ct$ — перемещение точки a за время t_1

С - скорость перемещения точки а.

Па основания (1) и (2) получим следующую формулу для определения средней скорости распространения пленки химиката по двум фотокадрам, сиятым с интервалом времени t

$$c = \frac{Hf}{t} \left(\frac{1}{h_0} - \frac{1}{h_0} \right) - \tag{3}$$

Здесь h_1 и h_2 — определяются по фотоснимкам, с учетом масштаба увеличения.

По мере перемещения мономолекулярной пленки масштаб изменяется по закону

$$m=\frac{d}{d}$$

где d — удаление фронта иленки от точки съемки.

При размерах фотокадра 13—18 см и определения размеров иленки на кадре по масштабной сетке с точностью ±0,5 мм ошибы в определении натурных размеров пленки не превосходит 3%.

С этой точностью были определены размеры и скорость перемещения пленки при удалении его фронта на расстояние до 3 км.

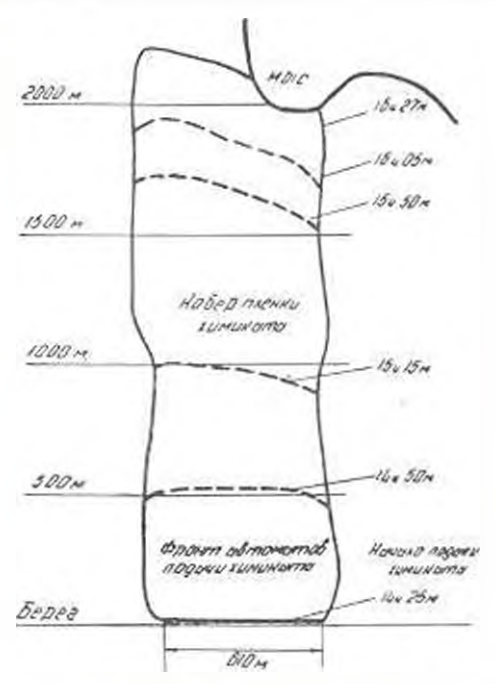


Рис. 4. План маспространения ковра пленки после обработки фотокадров опыта № 7.

На рис. 4 показаны результаты обработки одного опыта, прове-

По данным проведенных полевых исследований можно отметить, что фотограмметрический метод янляется эффективным для исследования распространения мономолекулярной пленки на поверхности водоема.

Институт водных проблем и гипротехники ММиВХ АрмССР

Поступило 10.11.1967

4. 6. 20411668HB, O. IF. HUPUMUSBUB

ԶՐԱՍՐԱՐԻ ՄԱԿԵՐԵՎՈՒՅԹԻ ՎՐԱ ՄՈՆՈՄՈԼԵԿՈՒԼՅԱՐ **ԲԱՂԱՆ**ՔԻ ՏԱՐԱԾՄԱՆ ՀԵՏԱԿՈՏՄԱՆ ՀՈՏՈԳՐԱՄՈՄԵՏՐԻԿ ԻՂԱՆԱԿԸ

Richardning

Ձրամբարներից ջրի դոլորշիացումը պակասեցնելու նպատակով օգտագործվում են Հատուկ բիմիանյուներ, որոնք Ռաղաննի ձևով տարածվում են լրի մակերևույնի վրա։

Հոդվածում չարադրված է չրի մակերհույքի վրա բնական պայմաններում այդ քիմիանյունի քողարկման և մոնոմոլնկուլյար քաղանքի առաջացման ու 3. TH. № 5

տարածման օրինաչափությունները հետակոտելու եղանակը։ Այդ նպատակով մշակվել են դրաֆիկական և անալիտիկ եզանակներ, որոնց օգնությամբ հաւմակվել են դրաֆիկական և անալիտիկ եզանակներ, որոնց օգնությամբ հաւմակվել են մշակել քավանթի գուսանկարներից հնարավոր է արձանակնել և մշակել քավանթի գուսանկարներից, որտեղից հնարավոր էր ընդգրկել չրի ամրողջ մակերևույիը, որը ծածկված էր խաղանթով։ Տեղանբի և օպտիկական սարբի հայտնի պարտմետրերի օգնությամբ հնարավոր է դառնում որոշել թաղանթի երկրաչափական չափերը և տարածման արագությունը նրա գոյության տարբեր փուլերում, ինչպես նաև՝ հետակոտել չրի և օդի չերմաստիճանների, բամու և ալնկոծության աղդեցությունը թաղանթի տարածման և դոյության վրա։

Այսպիսով, ափից կատարված նկարահանումների և առաջարկված եղանակով ստացված լուսանկարների մշակվան հիման վրա (առանց մասշտարի աղավաղման) կարելի է բավարար ճշտությամբ (3½) որոշել թաղանքի հիմնական պարամետրերը նրա տարածման տարբեր փույերում։

2030 ИНД В В СТИЯ АКАДЕМИИ НАУК АРМЯНСКОЯ ССР

Տեխնիկական գիտութ. սերիա

XX, № 5, 1967

Серия технических наук

НАУЧНЫЕ ЗАМЕТКИ

м. г. барсегян

О ФОРМУЛЕ ГИДРАВЛИЧЕСКИХ ПОТЕРЬ ПРИ ПЕУСТАНОВИВШЕМСЯ ДВИЖЕНИИ ЖИДКОСТИ

Известно, что для установившегося режима движения эне ргия затраченная на единицу веса жидкости, равна

$$h_w = \frac{\tau_0 l}{\gamma R}$$
 (1)

где τ_0 — касательное напряжение на стенке трубовровода; τ — объемный вес жидкости; R — гидравлический радиус; I — длина исследуемого участка трубопровода.

Известно также, что при установившемся движении касательное напряжение τ_0 зависит от динамической вязкости от плотности жидкости от лиаметра трубы d и от скорости движения жидкости v, τ , e.

$$\tau_0 = \tau_0 (p, p, d, v).$$

Так как при неустановившемся движении кинематические величины меняются во времени, то касательное напряжение то также будет меняться во времени и определится следующими параметрами:

$$\overline{}_0 = _0 \, (p, \, p, \, d, \, v, \, t). \tag{2}$$

Пользуясь теорией размерностей, можем записать

$$\tau_0 = k_1 v \circ v \circ d^m t^n, \qquad (3)$$

где k — коэффициент пропорциональности; x, y, z, m, n — показатели, подлежащие определению. Записывая размерности величин, входящих в ураниение (3) после группировки показателей, получим

$$MI^{-1}I^{-2}=M\cdots I^{-1}I^{-1$$

Из условия равенства показателей и левой и правой частях ураввения имеем:

$$x + y = +1;$$

 $-x - 3y + z + m = -1;$
 $-x + n - z = -2.$

Если выразить показатели x, у и m через z и n, уравнение (3) оримет вид:

$$z = k v^{n-z-1} - v \cdot d^{z-2n} - t^n.$$
 (4)

Группируя величины с одинаковыми показателями, одновременно умножая и деля уравнение на толучим

$$\tau_0 = k \left(\frac{\mu}{\rho v d}\right)^n \left(\frac{\rho v d}{\mu}\right)^z \left(\frac{v t}{d}\right)^n \frac{\mu^2}{\rho d^2}$$

Так как число Рейнольдся $Re = \frac{dt}{t}$ а $St_t = \frac{dt}{d}$ (число Струхаля), уравнение примет вил

$$t_0 = kRe^{z-n} St_t^n \frac{1}{2d^n} .$$
(6)

Если допустить, что формуля (1) яля некоторого момента времени справедлива и при неустановившемся цизжении жидкости, на основании (1) и (5) при звачении гидравлического радиуса для труб

круглого сечения $R=rac{d}{d}$, получим

$$h_{\infty} = \frac{4l}{\gamma d} k R e^{z-\alpha} S t_{\gamma}^{\alpha} \frac{\partial}{\partial d^2} . \tag{6}$$

Обозначив $p = v_0$ и $\gamma = v_1^2 = \frac{r_1^2}{Re^2}$ из выражения (6), полу-

чим величину потерь энергии при пеустановившемся движения

$$h_w = l_w \frac{l}{d} \frac{\tau^2}{2g} \,. \tag{7}$$

Здесь $t_{Ny} = 8k \ Re^{z-n-z} \ St.$ (8) — коэффициент — сопротивления трения при неустановившемся движении.

Формула (7) по внешнему вилу полностью совпадает с известной формулой Дарси-Вейсбаха, откула следует, что структура формул для определения потерь энергии при неустановившемся и установившемся движении одинакона, отличается лишь знячением коэффициента сопротивления который при неустановившемся движении, кроме числа Рейнольдса, зависит также от числа Струхаля, т. е. от фактора времени.

Значение коэффициента сопротивления τ при установившемся движении является частным случаем уравнения (8). При n=0 равняется коэффициенту сопротивления установившегося движения, т.е

$$\lambda_{\rm v} = 8k\,Re^{i}$$

В силу изложенного можно отметить, что при неустановившемся движении жидкости появляется повый критерий нестационарности в виде числа Струхаля, влияние которого на потери энергии пока не установлено.

Ереванский политехнический институт им. К. Маркса

К. Х. КАЗАРЯН

К ВОПРОСУ ОПРЕДЕЛЕНИЯ СИЛ ПРИ СВОБОДНОМ РЕЗАПИИ

Состояние предрезцовой зоны, предопределяющее характер и величину усилий, воспринимаемых режущим инструментом, зависит от величины температуры, возникающей в ней при воздействии резца, ее распределения, величины и степени неравномерности напряжений и деформаций в этой же зоне. Таким образом, усредненный показатель состояния этой зоны можно представить в виде:

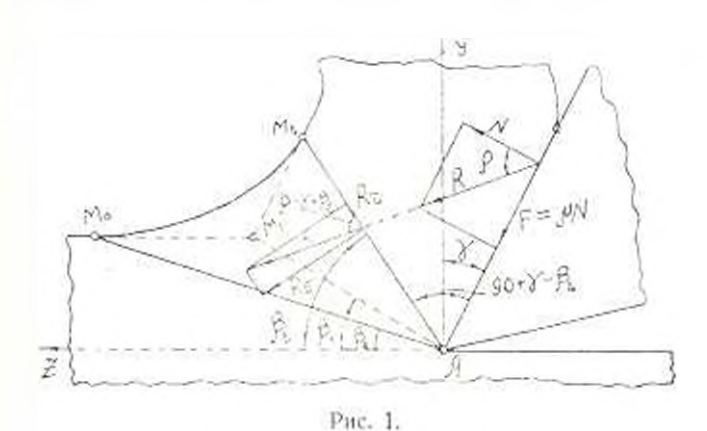
$$U = f(\theta, \mu, \sigma, \varsigma).$$

С другой стороны температура предрезцовой зоны, возникающая в зоне деформации, является и основном функцией используемых элементов режимного поля (v,a) и параметров режущего инструмента (γ,x,r) при обработке одного и того же вязкого металла. Существенным является соотношение между скоростью резания v и скоростью распространения пластической деформации v_x .

Величина скорости распространения пластической деформации может быть определена из общеизвестного выражения

$$\bar{v}_g = \sqrt{\frac{M}{P}}$$

где .M — модуль пластической деформации; р— плотность материала



В этих условиях предрезцовый объем в динамике может быть рассмотрен как состоящий из трех зон (рис. 1). Первая зона влеко от линии AM_0 характеризуется как структурно-нечувствительная, поскольку плотность, теплопроводность, модуль упругости, температура плавления и др., остаются строго определенными в процессе резания.

Вторая зона, заключенная в условном объеме AM_0M_1 , характеризуется как структурно-чувствительная, поскольку ее свойства зависят не только от состава и структуры, а также от несовершенства кристаллов (вакански, дислокации) и следовательно, от измененного сопротивления деформированию, пластичности, вязкости и др.

Третья зона, лежащая вправо от линии А.М., может быть названа зоной минимальных структурно-чувствительных и максимальных структурно-нечувствительных свойств, поскольку металл, переходя в эту зону, расходует располагаемый запас структурно-чувствительных свойств. Степень израсходования этого запаса является функцией периода прохождения средней зовы и отношения вуга.

Рассматривая процесс резания, как процесс пластического сдвига, можно предположить, что величина касательных напряжений на поверхности $AM_{\rm o}$ составляет

$$z = \langle j \cdot z \rangle \tag{1}$$

и показателем структурно-непурствительных свойсти является модуль сдвига О. Однако, поскольку эта поверхность является граничной, то естественно, что касательные напряжения на поверхности сдвига со стороны передней грани резца отличаются от приведенной величины, Если предположить, что в зоне прилегнощей к этой поверхности имсем идеально-вязко-пластичный металл, пользуясь уравнением Биягама, можем написать

$$= - - 1$$
 (2)

где ту — предел текучести неупрозненного металла; р — коэффициент вязкости; — з — скорость пластической деформации.

Здесь показателем структурно-чувствительных свойств является коэффициент вязкости и.

Однако, в реальных металлах в обычных условиях резания, скорость деформации не остается пост янной; и кроме того, сказываются влияния упрочнения и отдыха. Эти изменения происходят в структурно-чувствительной зоне с плавным изменением от AM_0 до AM_1 . В этом случае

$$z = z_T + f(z) + yz$$
. (3)

Для периого приближения принять

$$f(\varepsilon) = A \cdot \varepsilon^m; \ \varepsilon = K_{\kappa}^{\frac{1}{\alpha}} \left(\frac{A}{B}\right)^{\frac{1}{\alpha}} \cdot \varepsilon^{\frac{1}{\alpha_1}}, \tag{4}$$

где коэффициенты A и B характеризуют, соответственно, предел текучести металла при относительном сдвиге и скорости деформации, равной единице.

Коэффициенты m и n_1 отражают чувствительность металла, со-

ответственно, к упрочнению и скорости деформации. $K_{\rm g}$ — коэффициент динамичности процесса определяется из соотношения

$$R_K = \frac{\pi}{\pi}$$

Здесь т. и т. являются, соответственно, сопротивление пластическому сдвигу при данной степени деформации и скорости деформации. Таким образом, касательные напряжения без учета отдыха

$$z = z_1 - z^n \left[A + p K_n^n \left(\frac{A}{B} \right)^n z^n \right]$$
 (5)

rge $n = \frac{1}{n_1}$

Проектируя на оси Z и Y (рис. 1), с учетом величины элементов среза и геометрии проиесса, получим составляющие силы резания при $\kappa=0$ и r=0 без учета краевых эффектов

$$P_Z = \frac{\tau_7 + \epsilon^m \left[A + \mu K_R^n \left(\frac{A}{B} \right)^n \epsilon^n \right]}{\cos \left(\gamma - \beta_s \right) \cos \left(\rho - \gamma + \beta_s \right)} ab\epsilon \cos \left(\rho - \gamma \right), \tag{6}$$

$$P_{\chi} = \frac{\tau_{7} + \epsilon^{m} \left[A + \mu \cdot K_{g}^{u} \left(\frac{A}{B} \right)^{n} \epsilon^{u} \right]}{\cos \left(\gamma - \beta_{s} \right) \cos \left(\rho - \gamma + \beta_{s} \right)} ab \zeta \sin \left(\rho - \frac{\epsilon}{\gamma} \gamma \right), \quad (7)$$

где с - коэффициент усадки стружки.

По предлагаемому методу следуя [1], можно разработать физически обоснованную классификацию стружкообразонания.

Высказывается предположение, что материал предрезцовой зоны ваходится в вязко-пластическом состоянии, обладающим упрочиением. Это дает возможность установить зависимость между усилием резания и скоростью деформации.

Имеется возможность использовать богатые экспериментальные данные [2] для определения коэффициента дипамичности при резании металла.

Ереванский политехнический институт им. К. Маркса

Поступило 2.V.1967

ЛИТЕРАТУРА

- 1. Чалмерс Б. Физическое металловедение. М., ИИЛ, 1963
- 2. Волошенко-Климовицкий Ю. Я. Іннамический предел текучести. М., 1965.

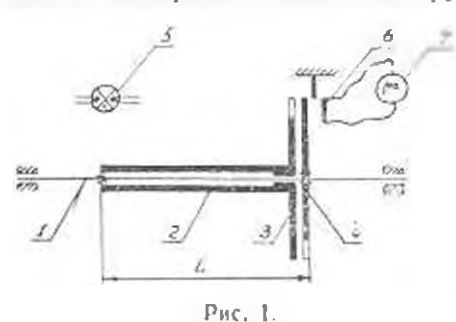
С. В. ХАЧИЯН

ГРАДУИРОВАНИЕ ШКАЛЫ ИЗМЕРНТЕЛЯ КРУТЯЩЕГО МОМЕНТА МЕТОДОМ КОСВЕННОГО ЗАМЕЩЕНИЯ

Косвенные измерения величивы крутящего момента можно производить торснометрами различных типов; многие торснометры точны в измерении, удобны в изготовлении и эксплуатации, но по своей конструкции не позволяют градуировать шкалу измерителя в единицах крутящего момента на работающей установке. С этой целью выгодно отличается фотоэлектрический растровый датчик, который может быть установлен как торсиометр, так и градуирующее устройство для торсиометров других типов. Педостаток предлагаемого метода заключается и том, что измерительному устройству требуется свободный участок вала нензменного диаметра, который служит измерительной базой.

Мстройство (рис. 1) состоит из трубки 2 длиною ℓ (измерительная база); один конец трубки крепится на валу, а на иторой конец монтируется растровая шайба 3. Строго подобная зубчатая шайба 4 (изготовленная совместно с первой) крепится на валу так, чтобы против впадин шайбы 3 находились се аубья. От газосветной лампы 5 световой поток падает на шайбу 3 через окно диафрагмы. При отсутствии крутящего момента измеритель 7 показывает нуль; фотоэлемент 6 заперт зубчатыми шайбами. С увеличением угла закручивания вала вситильный фотоэлемент генерирует световую энергию в электрическую пропорционально крутящему моменту.

Градуирование шкалы измерителя проводилось следующим способом. Измеряемая величина крутящего момента $M_{\kappa\rho}$ заменяется уг-



лом закручивания ϕ , а последний освещенной площадью S на фото-элементе, а S в свою очередь фототоком I_{0} .

Изменяя величину фототока смещением одной шайбы относительно другой на неработающей установке, получаются те же воказация на приборе, что и при наличии закручивания вала. При ука-

занных условиях градупрования, очевидно, получим $M_{
m kp}=cI_{
m p}$.

Аналитически сущность градупрования заключается в том, что выражение

$$M_{\rm kp} = \frac{GI_{\rm p} \pi}{L \, 180} \, \mathrm{p}^{\rm o} \tag{1}$$

умножается и делится на фототок 🦍 тогда

$$M_{\rm vp} = \frac{GI_{\rm ph}}{I_{\rm c} \cdot 180} \circ \frac{I_{\rm th}}{I_{\rm th}}.$$

Заменим I_{ϕ_0} стоящее в знаменателе, через его значение из эксперимента:

$$M_{\rm kp} = \frac{I_{\rm h} I_{\rm h} PG}{\frac{1}{2} Z_{\rm Y} \left(R^2 - \phi^2\right) LIcb} \tag{2}$$

где Z число пар зубъев и впадни вместе, которые могли быть вписаны в световое окно диафрагмы (окно имеет форму кольцевого сектора по высоте внадины или зуба);

 $(\frac{m\kappa a}{nm});$

 I_{cn} — сила света люминесцентной лампы (св);

угол закручивания (градус);

R — раднус окружности выступов шайбы (см);

р — радиус окружности внадин шайбы (см);

G- модуль поперечной упругости материала вала $\left(\frac{\kappa T}{c R^2}\right)$:

 $I_{p} = \frac{\pi d^{4}}{32}$ — полярныя момент инерции вала $(c_{M})^{4}$;

d диаметр вала (cM).

Обозначим:

$$K_1 = \frac{1}{2} Z (R^2 - \varphi^2) \frac{\pi}{180}; \quad K_2 = \frac{L180}{GI_0 \pi}; \quad K_3 = Ics \frac{\gamma}{l^2} - E\gamma,$$

где $E = C_1 U$ — освещенность поверхности фотоэлемента (люкс): U — напряжение питающей лампы (и).

 $\varphi = b \, \frac{180}{\pi R}$ где $b \, - \,$ длина дуги кольцевого сектора одной щели на шай-

бе радиуса R.

Освещенная площадь фотоэлемента

$$S = K_1 \varphi = \frac{1}{2} Z (R^2 - v^2) \frac{\pi}{180} \varphi (c.M^2),$$

где $I_{\Phi} = E \gamma S$; $Ics = I^{\mu}E$; I — расстояние от лампы до фотоэлемента (cM). С целью вычисления относительной погрешности измерения запишем

$$\frac{\Delta I_p}{I_p} = \pm 4 \frac{\Delta d}{d};$$

$$\frac{\Delta I_{CB}}{I_{CB}} = \pm \left(\frac{\Delta E}{E} + \frac{2\Delta I}{I}\right);$$

$$\frac{\Delta \varphi}{\epsilon} = \pm \left(\frac{\Delta b}{b} + \frac{\Delta R}{R}\right);$$

$$\frac{\Delta I_{\Phi}}{I_{\Phi}} = \pm \left(\frac{\Delta E}{E} + \frac{\Delta S}{S}\right)$$

$$\frac{\Delta E}{E} = \pm \frac{\Delta U}{U} :$$

$$\frac{\Delta S}{S} = \pm \left[\frac{\Delta \varphi}{\gamma} + \frac{\Delta (R^2 - \gamma^2)}{R^2 - \gamma^2}\right]$$

В силу формул (1) и (2) получим:

$$\beta = \frac{\Delta M_{\rm kp}}{M_{\rm kp}} 100\% = i \left(\frac{M_{\rm kp}}{I_{\rm p}} + \frac{\Delta v}{\varphi} - \frac{\Delta L}{L} + \frac{\Delta G}{G} \right) 100\%; \tag{3}$$

$$\beta_{\rm J} = -\left[\frac{\Delta I_{\rm p}}{I_{\rm o}} - \frac{\Delta I_{\rm p}}{I_{\rm o}} + \frac{\Delta G}{I_{\rm o}} - \frac{\Delta F}{E} + \frac{\Delta (R^2 - \rho^2)}{R^2 - \rho^2} - \frac{\Delta L}{L}\right] 100$$
 (4)

Из формулы (3) вытекает, что

$$\hat{r} = \pm \left[-\frac{\Delta d}{d} - \frac{\Delta R}{b} - \frac{\Delta R}{R} + \frac{\Delta L}{L} - \frac{\Delta G}{G} \right]. \quad 100^{\circ} \tag{5}$$

Из формулы (4)

$$2a = \left[\frac{\Delta b}{b} + 4\frac{\Delta d}{d} + \frac{\Delta R}{R} + \frac{\Delta G}{G} + \frac{\Delta L}{L} - 2\frac{\Delta U}{U} + 2\frac{\Delta (R^2 - p^2)}{R^2 - p^2}\right] 100\%.$$
 (6)

Тогда погрещность градупрования будет равна

$$\Delta \beta = \beta \beta' - \beta = \pm 2 \left[\frac{\Lambda l}{U} + \frac{\Delta (R^* - \mu^*)}{R^2 - \mu^2} \right] 100^{\circ} \tag{7}$$

но эксперименту погрешность $\Delta 3$ оказалась равной $\pm 0.04\%$. Экспериментальная записимость L_b от $M_{\rm sp}(\phi)$ приводится в табл. 1.

Таблица !

spud	S Sz-n	Ісь мка	$b = \frac{h}{7} AM$	10-104 S ANKC	Alsp KTM	Δ.// _{Mκp} 100°/ ₁
5' 10' 15' 20' 25' 30 35' 40' 45' 50' 55'	0,124 0,218 0,372 0,496 0,620 0,744 0,868 0,992 0,111 0,121 0,136 0,148	1,1 2,2 3,3 4,4 5,5 6,6 7,7 8,8 9,9 11,0 12,1 13,2	0,0022 0,0044 0,0066 0,0088 0,0110 0,0132 0,0154 0,0176 0,0176 0,0220 0,0242 0,0242	176,917 176,917 176,917 176,917 176,917 176,917 176,917 176,917 176,917 176,917	9,415 18,830 28,245 37,660 47,076 56,491 65,906 75,321 84,736 94,152 103,567 112,982	2,73 2,03 1,48 1,23 1,06 0,94 0,85 0,78 0,73 0,68 0,61

Примечание: t=330 мм. t=500 мм. U=125 в. d=40 мм. d= диаметр вала между дингателем и генератором Данные сияты на дизельгенераторной установке. (Танконый имель "Лейланл" на 150 м. с и шунтовой генератор на 45 квм)

В. Л. МАРУХЯН

К ВОПРОСМ ОЦЕНКИ ЭФФЕКТИВНОСТИ КАПИТАЛЬНЫХ ВЛОЖЕНИЙ В КАБЕЛЬНОЙ ПРОМЫШЛЕННОСТИ

В настоящее время в кабельной промышленности эффективность того или вного варнанта вложений оценивают по помазателю манимума расчетных затрат $U + EK = \min$, что не может явиться мерилом эффективности, так как улучшение качества продукции требует повышенных затрат, следовательно, расчетные заграты не будут удовлетворять условню минимума, хотя и при реализации этой продукции будет получен максимум чистого дохода.

Вероятно, будет правильно, если анализ и измерение эффективмости в кабельном производстве производить на основе показателя прибыли чистого дохода. Исходным пунктом анализа является установление функциональной зависимости между доходом и затратами, в результате которой был получен это доход. Соотношение между походом и затратами обычно представляется в виде функции

$$\mathcal{L}_m = \mathcal{J}_m \ (3 - 3_{mh}), \ (m = 1, 2 \cdots n)$$

где \mathcal{A}_m — доход, получаемый в результате внедрения проекта: $\mathbf{3}_{ms}$ — затраты, предусмотренные проектом; $\mathbf{3}_{mh}$ — добавочные затраты. Максимум увеличения дохода можно определить по формуле:

$$\gamma = \sum_{m} \mathcal{A}_m \left(\mathcal{B}_{mp}, \ \mathcal{B}_{mh} \right) + \sum_{m=1}^n \mathcal{B}_{mn} + \sum_{m=1}^n \mathcal{B}_{mn} + \sum_{m=1}^n \mathcal{B}_{mq}.$$

После дифференцирования по 3_{mg} и 3_{mh} получим

$$\frac{\partial \mathcal{I}_m}{\partial \mathcal{I}_{m_k}} = 1 + \tau; \quad \frac{\partial \mathcal{I}_m}{\partial \mathcal{I}_{m_k}} = 1.$$

жается веучтенным фактор времени при образовании дохода и затрат. Это может быть учтено следующим образом: для каждого проекта вложений K определяют функцию доходности

$$\mathcal{A}_{kl} = \mathcal{A}_{kl}\left(N_k\right),$$

где X_k — измеряет масштаб проекта. Полные затраты представляются предующими стоимостными функциями

$$U_{k,t} = U_{k,t}(X_k); \ U_{k,t} = U_{k,t}(X_k); \ K_{k,t} = K_{k,t}(X_k); \ K_{k,t} = K_{k,t}(X_k)_{t}$$

где X_k — эксплуатационные затраты для проекта K в период T_i U_{kk} — сопряженные эксплуатационные затраты; K_k — капитальные вложения; K_{kg} — сопряженные капитальные вложения. С целью упрощения задачи предполагается, что все капитальные затраты производятся в первый период. Тогда максимальное увеличение чистого дохода будет

$$\Delta \beta = \sum_{k=1}^{n} \sum_{\ell=1}^{n} \frac{I_{k\ell}(X_k)}{(1-r)} = \sum_{k=1}^{n} \sum_{\ell=1}^{rk} \frac{\ell x_{\ell}}{(1-r)^{\ell}} = \sum_{k=1}^{n} \sum_{\ell=1}^{n} \frac{\ell x_{\ell}}{(1-r)^{\ell}}$$

$$= \sum_{k=1}^{n} R_{k_{R}}(X_{k}) - \sum_{k=1}^{n} K_{kk}(X_{k}),$$

где r — норма приовли, которую принимаем равной коэффициент эффективности. В кабельной промышленности можно принять r = 0.25, r — экономический срок службы проекта. Составив функцию Лагравжа, получим

$$\Phi = \Delta B = \pi \left[\sum_{k=1}^{n} \sum_{l=1}^{Th} \frac{U_{kgt}(X_k)}{(1+r)^{d}} + \sum_{k=1}^{n} K_{kg}(X_k) \right].$$

Экстремум этой функции находим из условия

$$\frac{\sum_{i=1}^{n} \frac{dX_{i}}{dX_{i}} - \frac{1}{(1-r)^{i}} - (1+r)^{i} \left[\sum_{i=1}^{n} \frac{dX_{i}}{dX_{i}} - \frac{dX_{i}}{dX_{k}} \right] - \frac{\sum_{i=1}^{n} dx_{k}}{dx_{k}} - \frac{1}{(1+r)^{i}} - \frac{dX_{i}}{dX_{k}} = 0$$

Откуда условие эффективности капиталовложений можно выразить в следующем инде:

$$\frac{\sum_{k=1}^{2k} \left[(d\mathcal{U}_{kh} dX_k) (1+r)^{-1} \right] - \sum_{k=1}^{2k} \left[(dU_{kh} dX_k) (1+r)^{-1} \right] - dR_{kh} dX_k}{\sum_{k=1}^{2k} \left[(dU_{kg} dX_k) (1+r)^{-1} \right] + dR_{kg} dX_k} = 1 + \gamma_s$$

Этот критерий предлагается для анализа и оценки эффективности капитальных вложений в кабельной промышленности.

Он позволит ориентировать кабельные заводы на выпуск высококачественных изделий, что приведет к повышению рентабельности предприятия.

Ерепанский политехнический институт им. К. Маркса

Поступнао 22.V.1967

НЗВЕСТИЯ АП АРМ ССР (СЕРИЯ ГЕХИ НАУК), т XX, № 5, 1967. УДК 699.84

О колебании свободно стоящего призматического бруса под сейсмическим воздействием. Дарбинян С. С. «Известия АН Арм. ССР (серия 7. Н.)», т. XX, № 5, 1967, 3-9.

Исследуются свободные и выпужденные колебания абсолютно твердого паравленениеда под действием горизонтавниях и вертикальных сейсмических сил Отмечается, что полученные уравнения в частном случае при полятся к известным уравнениям Матье и Хилла. Далее изучается случай весьмя малых перемещений и лается аспуптотический метод решения. При очень малых отношениях бруса можно ограничиться первым приближением, которое для практических целей может дять достаточно гочные результаты. Автор приходит к имволу, что одновременный учет вертикальных и горизонтальных сейсмических сил полиоляет пилимть данолинтельный резерв прочности сооружений. Библиографий 6, Иллюстрация 1.

VAK 624,016.7

Характер разрушения сталей повышенной и высокой прочности для строительства. Мелконян Л. М. «Известия АН Арм. ССР (серия Г. Н.)», т. ХХ, № 5, 1967, 10—13.

Излагаются результаты исследований разрушений сталей марок Ст Т, 14XГС, 12Г2СМФ, 12XГ2СМФ в различных атмосферных условиях Показано, что равномерное разрушение строительных сталей, которое считается основным в атмосферных условиях, имеет место не всегда. Равномерниять эта относительна и гермически упрочиенным сталям новы не ной высокой прочности не свойствениа. Таблин 2 Виблиографий 5.

УДК 66.076

Многолетисе регулирование галопотребления в энергетической системе. Погосбеков Э. С. «Известия АН Арм. ССР (серия Т. Н.)», т. ХХ, № 5, 1967, 14—19.

Излагается расчетная схема многолетнего регулирования газопередачи посредством газохранилища. При многолетнем потреблении газа ТЭС при заданном объеме аккумулирования и равномерной подаче газа осуществляется поочередное наполнение и опорожнение аккумулирующей смести. По количеству перебойных лет устанавливается обеспеченность регулирующей способности газохранилища. Построена кривая обеспеченности регулирования по заданному многолетнему ряду и разному объему аккумулирования газа. Библиографий 4. Иллюстрация 1

Водиый и гепловой балансы сущи бассейна озера Севан, Мхитарян А. М., Пахчанян Г. Г., Шишманян С. М. «Известия АН Арм. ССР (серия Т. Н.)», г. XX, № 5, 1967, 20—29.

Рассматриваются водный и тепловой балансы суши бассейна оз. Севан: атмосферные осатки, испарение, сток, суммарная и поглошенияя радиация, радианизмый баланс, затраты тепла на турбулентный теплообмен с атмосферой и на суммарное испарение с поверхности суши и растительного покрова. Годоные значения некоторых и этях неличин картированы, Габлин 2. Библиографий 4. Иллюсграций 4.

VIIK 551.578

Фотограмметрический метол исследования распространения мономолекулярной пленки на поверхности водоема. Овсепян К. Х., аКралетян Р. М. «Известия АН Арм. ССР (серяя 1. Н.)», т. ХХ, № 5, 1967, 30—34.

Институтом водных проблем и гидротехники ММиВХ Арм ССР проводятся истандования на напесению химпвата на поверхность водоемов для создания мономолекулирной пленки — нельст уменьшения испарения. Пля изучения поведения пленки в натучных условиях был применен фотограмметрический метод.

Разработаны графический и апализический метод, которые возволяют по навестным параметрам местности и оптического прибора, с достаточной точностью определить скорость распространения пленки и его плошаль чокрытия, и но этим данным исследовать влияние температуры воды и метрухо, петра и волиения на распространение и сохранение пленки, Ислюстраций 1.

VAR 532.5

О формуле (идравлических потеры при неустановившемся динжении жидкости. Барсегии М. Г. «Известия АН Арм. ССР (серия Т. Н.)». г. ХХ, М. 5, 1967, 35—36.

На основании теорий размерности выведена формула коэффициента сопротивления трения г при неустановившемся движении жидкости. В рассматриваемом случае коэффициент сопротивления г, кроме числа Ремнольдеа, защиент твиже от числа Струхаля, г. е, от фиктора времени.

Приводитея общая формула вотерь эпертии при неустановившемся движения жизкости, которан по структуре соппадает с формулой Дарси-Венсбаха, по от прастея плачением коэффициентя сопротивления.

К вопросу определения сил при свободном резании, Казарям К. Х. «Известия АН Арм. ССР (серия Т. Н.)», т. ХХ, № 5, 1967, 37—39.

Рассматриваются вопросы классификации зои стружкообразонания в соответствии с существующей классификацией свойств мезаллов, в также влияния корости деформации на усилие резания на основе реологических уравнений, Предлагаем с фирмули для определения усилий резаими с учетом. Таблица 1. Иллинграция 1.

VДК 531.23

Градуирование шкалы измерителя крутящего момента методом коспенного замещения. Хачиян С. В. Известия АН Арм. ССР (серня Т. П.)», т. XX, АЗ — 1967, 40—42.

Рассматривается попрос тарыревки ясличии крутищих моментов фотоэлектрическим растокым датчиком, сконструированиям автором. Приводится опенка погрешности косвенного градуирования фотоэлектрического моментомера динамики Библисграфий 2. Палкстрация 1

VIIK 338.94 . 621 315 (479.25)

К вопросу оценки эффективности капитальных вложений кабельной промышленности. Марухян В. Д. «Известия АН Арм. ССР (серия Т. Н.)», т. ХХ, № 5, 1967, 43—44.

Существующие критерии оденки эффективности канитальных вложний в кабельной промышленности не стимулируют повышение качества продукции, Предлагается в качестве критерия эффективности принимать максимум отношения частого дохода ко иссы единовременным татратам. Для отыскания максимума непользуются функции Лагранжа.



PROGRESSIES

ՇԻՆԱՐԱՐԱԿԱՆ ՄԻԽԱՆԻԿԱ ԵՎ ՇԻՆԱՐԱՐԱԿԱՆ ԿՈՆՍՏՐՍԻԿՑԻԱՆԵՐ

U. II.	, Գաբրինյան, Սեյոմիկ ուժերի արդեցությանը ենթարկվում ազատ մենված արիզ-	
	մայանև ձորի տատանանուն մասին	3
ţ, U,	Մելքոնյան, Քարձրաժուր և բարձրացված ավրության պողպատների բայբայժան	
	բեուլիը չինարարուիյան մեր կիրառելիս	10
	tata ta sent	
ţ, u,	Պողոսբեկով Գազաապատման բաղմամչա կարդավորումը Լևերդասիստեմում	7.1
	ՀիԴՐ((ՏԵԽՆԻԿ)).	
O. U	. Միկրաշյան, Հ. Հ. Փախչանյան, Ս. Ծ. Շիչմանյան, <i>Սհահա լձի տվադահի ցաժարի</i>	
Al. fo.	գրային ու յերժային հաշվեկչիոները . . Հովոեփյան, Ու Ու Կաշտոլետյան, Հրամբարի մակերևույնի վրա մանովոկությար	50
4,,	Рազանքի տարածման հետազոտման ֆոտուրյամաննարիկ հղանակը	3/1
	ԳԻՏԱԿՈՒ ՆՈԹԵՐ	
Da .		
0, 2	. Բաշսեղյան, Հիգրագլիկական կորուստների բանաձևի մասին՝ մնդուկի չկայու-	-64
J. L.	րացած չարժման դեպբում	37
	. Ղազարյան, Ադատ կարման դեպքում աժերի որուման, արցի չուրջը	.64
u, ų	. Խաչիյան, հետոզդակի տեղակարման մենոգով սանդղակի աստիսահամո-	60
d n	Provide pure quanduli dodtion fidentini	4//
	. Մասուխյան, հարելի արդյունարնբության մեր կապիտալ հերդրումների արդյունա-	43

СОДЕРЖАНИЕ

	Crp.
Строительная механика и строительные конструкции	
С. С. Дарбинян. О колебании свободно стоящего признатического бруса под сейсмическим воздействием	3
Энергетика	
.Э. С. Погосбеков. Многолетнее регулирование газопотребления и энергетической системе	14
Гидротехника	
4. М. Мхитарин, Г. Г. Похчанян, С. М. Шписманян. Водный и тепловой балансы сущи бассейна одера Севан	20
дрема • • • • • • • • • • • • • • • • • • •	30
Научные заметки	
М. Г. парсегян. О формуле (идравлических потерь при неустановившемся движении жидкости · · · · · · · · · · · · · · · · · · ·	35
К. Х. Казарян. К вопросу определения сил при свободном резании	37
С. В. хачиян Градупрование шкалы измерителя крутящего момента методом косвенного замещения	40
В. Л. Марухян. К вопросу оценки эффективности капитальных вложений в ка- бельной промышленности	43